

รายการอ้างอิง

1. Power,T.C., "The Properties of Fresh Concrete", John Willy & Sons, New York, 1967
2. Neville,A.M., "Properties of Concrete". Pitmen, 1981
3. ACI Committee 226, "Use of Fly Ash in Concrete". ACI Materials Journal, September-October, 1987
4. Robert B.Barton, "Water/Cement Ratio to Passe'", Concrete International, November, 1989, pp 75-78
5. Wesche,K., "Fly Ash in Concrete. Properties and Performance", Report of Technical Committee 67-FAB, Use of Fly Ash in Building, E & FN SPON, France, 1990
6. Djellouli,H.,Aitcin,P.C.,Chaallal,O., "The Use of Ground Granulated Slag in High Performance Concrete", Utilization of High-Strength Concrete, Proceedings of Second International Symposium, Berkeley, May 20-23, 1990
7. Gopalan,M.K.,Haque,M.N., "Fly Ash in High Strength Concrete". Utilization of High-Strength Concrete, Proceedings of Second International Symposium, Berkeley, May 20-23, 1990
8. INTRON, Institute for Material and Environmental Research B.V., "Fly Ash as Addition to Concrete", CUR, Netherlands, 1992
9. ACI Committee 211, "Guide for Selecting Proportions for High-Strength Concrete with Portland Cement and Fly Ash". ACI Materials Journal, May-June, 1993
10. F.de Larrard, "A Survey of Recent Researches Performed in the French "LPC" Network on High-Performance Concrete", Utilization of High Strength Concrete Proceedings, Volumn 1., Norway, June, 1993, pp 57-67
11. Gabrielsson,H., "High Performance Concrete Beams Tested in Shear.". Utilization of High Strength Concrete Proceedings, Volumn 1., Norway, June, 1993, pp 169-176
12. Pentala,V.E., "Effect of Delayed Dosage of Superplasticizer on HPC". Utilization of High Strength Concrete Proceedings, Volumn 2., Norway, June, 1993, pp 874-881
13. Chikamatsu,R.,Kitamura,H.,Nishizaki,T.,Kamada,F.,Sogo,S., "Study on Practical Use of Non-Shrinkage Type High Performance Concrete for Inversaly Casting Method". ACI International Conference, Supplementary paper, SP-149, Singapore, 1994, pp 125-140
14. Wecharatana,M.,Talungpong,S., "Influence of Aggregate on High Strength Concrete in Thailand". ACI International Conference, Supplementary paper, SP-149, Singapore, 1994, pp 297-320

15. Sarkar,S.L., "Roles of Silica Fume, Slag, and Fly Ash in the Development of HPC Microstructure", ACI International Conference, SP-149, Singapore, 1994, pp 449-460
16. Wecharatana,M.,Liskowiz,J.W., "Properties of High Performance Fly Ash Concrete", International Workshop on HPC, Bangkok, Thailand, November, 1994, pp 28.1 - 28.9
17. MidGley,H.G., "The Determination of Calcium Hydroxide in Set Portland Cements", Cement and Concrete Research, Vol. 9, 1979, pp 77-82
18. Ramachandran,V.S., "Differential Thermal Method of Estimating Calcium Hydroxide in Calcium Silicate and Cement Pastes", Cement and Concrete Reserch, Vol.9, 1979, pp 667-684
19. Jazairi,B.El.,Illston,J.M., "The Hydration of Cement Paste Using The Semi-Isothermal Method of Derivative Thermogravimetry", Cement and Concrete Research, Vol.10, 1980, pp 361-366
20. Halse,Y.,Pratt,P.L., "Development of Microstructure and Other Properties in Fly Ash OPC Systems", Cement and Concrete Research, Vol.14, 1984, pp 491-498
- 21.Jun-yuan,H.,Scheetz,B.E.,Roy,D.M., "Hydration of Fly Ash Portland Cements", Cement and Concrete Research, Vol.14, 1984, pp 505-512
22. Fordham,C.J.,Smalley,I.J., "A Simple Thermogravimetric Study of Hydrated Cement", Cement and Concrete Research, Vol.15, 1985, pp 141-144
23. Marsh,B.K.,Day,R.L., "Pozzolanic and Cementitious Reactions of Fly Ash in Blended Cement Pastes", Cement and Concrete Research, Vol.18, 1988, pp 301-310
24. Chindaprasirt,P.,Hovichitr,I.,Pinnarat,C., "Further Studies of Portland Cement Containing Mae-Moh Fly Ash ", Proceeding of the Recent Advances in Structural Engineering, Japan- Thai Civil Engineering Concrete, March 14-15,1985
25. Fraay,A.L.A., Bijen,J.M., Hann,Y.M., "The Reaction of Fly Ash in Concrete-A Critical Examination", Cement And Concrete Research, Vol.19, 1989, pp235-246
26. Rison,M.R., "Concrete Admixtures : Use and Applications", Concrete Admixtures Association, Chapter 7, 1977, pp 159-201
27. กรกฎ วิจิตรพงศ์, "การใช้ซีลกอยแม่เมะในการปั้นปูรุ่งความสามารถทำงานได้扦 คอนกรีตสด", วิทยานิพนธ์ปริญญาวิศวกรรมศาสตรมหาบัณฑิต, ภาควิชาวิศวกรรมโยธา, จุฬาลงกรณ์มหาวิทยาลัย, 2531
28. นฤมล ชื่นอุทัย, "คัตตราส่วนผสมของคอนกรีตกำลังสูง", วิทยานิพนธ์ปริญญาวิศวกรรมศาสตรมหาบัณฑิต, ภาควิชาวิศวกรรมโยธา, มหาวิทยาลัยเกษตรศาสตร์, 2534
29. ชยานนท์ เจริญชัยชาสิต ยะคง, "มาร์ก็อกซิยาคอนกรีตกำลังสูงด้วย Silica Fume ", วิทยานิพนธ์ปริญญาวิศวกรรมศาสตรบัณฑิต, ภาควิชาวิศวกรรมโยธา, สถาบัน

เทคโนโลยีพระจอมเกล้า รัตนบุรี, 2534

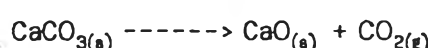
30. เสรี เกียรติยุทธชาติ, “มาร์พัฒนามาตรฐานในการออกแบบสำหรับคอนกรีตมีมวลสูง”, วิทยานิพนธ์ปริญญาวิศวกรรมศาสตรมหาบัณฑิต, ภาควิชาวิศวกรรมโยธา, จุฬาลงกรณ์มหาวิทยาลัย
31. ประจิต จิรปัปภากา, “คุณภาพสมมูลกับอัลลอยแม่เมaje” โครงการวิจัย สถาบันวิจัยแห่งชาติจุฬาลงกรณ์มหาวิทยาลัย, กันยายน, 2535
32. Nontanananonth,S.,Wangtien,S., “Selection of Lignite Fly Ash for Concrete”. เอกสารสัมมนาทางวิชาการเรื่องศักยภาพการนำถ่านหินลิกไนต์มาใช้ประโยชน์, สำนักงานวิจัยและพัฒนาวิชาการ กฟผ., เมษายน, 2536
33. ปริญญา จินดาประเสริฐ, “ปูนซีเมนต์ปอร์ตแลนด์ผสมหัวไก่กลันที่เก้าออยและสารลดน้ำพิเศษ”, เอกสารสัมมนาทางวิชาการเรื่องศักยภาพการนำถ่านหินลิกไนต์มาใช้ประโยชน์, สำนักงานวิจัยและพัฒนาวิชาการ กฟผ., เมษายน, 2536
34. บุรฉัตร ฉัตรวีระ, พิชัย นิมิตยงสกุล, “ความร้อนเนื้องจากปฏิกริยาไข่เครื่องของคอนกรีตผสมหัวไก่แม่เมaje”, วารสาร กฟผ., ปีที่ 2, เล่มที่ 4, ตุลาคม-ธันวาคม 2536, หน้า 39-56
35. บุรฉัตร ฉัตรวีระ, พิชัย นิมิตยงสกุล, “คุณสมบัติทางกายภาพและกลศาสตร์ของหัวไก่แม่เมaje จากโรงไฟฟ้าแม่เมaje”, วารสาร กฟผ., ปีที่ 3, เล่มที่ 1, มกราคม-มีนาคม, 2537, หน้า 46-54
36. บุรฉัตร ฉัตรวีระ, พิชัย นิมิตยงสกุล, “การออกแบบคอนกรีตผสมหัวไก่แม่เมaje จากโรงไฟฟ้าแม่เมaje”, วารสาร กฟผ., ปีที่ 3, เล่มที่ 3, กรกฎาคม-กันยายน, 2537, หน้า 43-55
37. เอกสิทธิ์ ลีมสุวรรณ “การพัฒนาของ High Performance Concrete”, การสัมมนาทางวิชาการเรื่อง Pre-Workshop on High Performance Concrete จัดโดย วิศวกรรมสถานแห่งประเทศไทย, กรกฎาคม 2537 , หน้า 1 - 9
38. กิตติกร ตันเปาวงศ์ และ ณรงค์ศักดิ์ สุวันนิชกิจ, “มวลรวมและปฏิภาคน้ำ份สมที่เหมาะสมสำหรับ HPC”, การสัมมนาทางวิชาการเรื่อง Pre-Workshop on High Performance Concrete จัดโดย วิศวกรรมสถานแห่งประเทศไทย, กรกฎาคม 2537 , หน้า 11-22
39. กิตติกร ตันเปาวงศ์ , “ผลกระทบจากขนาดคงที่ของมวลรวมในสภาพเหตุของคอนกรีตสมรรถนะสูง”, วิทยานิพนธ์ปริญญาวิศวกรรมศาสตรมหาบัณฑิต, ภาควิชาวิศวกรรมโยธา, จุฬาลงกรณ์มหาวิทยาลัย, 2538

ກາຄົມນວກ

คำนิยาม

ปฏิกิริยาทางเคมี

1. absorption - ปรากฏการณ์ซึ่งสารชนิดหนึ่งดูดกลืน (absorb) สารหรืออนุภาคอื่น ๆ ซึ่งอาจจะเป็นแสง แกส ของแข็งหรือของเหลวเข้าไปในตัว
2. adsorption - ปรากฏการณ์ซึ่งสารดูดเอาสารอื่น เช่นแกส ของแข็ง หรือของเหลวไปสู่ผิวของสารนั้น
3. anhydrous → ใช้กับสารอนินทรีย์ซึ่งปกติสามารถมีโมเลกุลของน้ำเป็นส่วนหนึ่งของสารนั้น ในรูปของผลึก แต่ได้สูญเสียน้ำไปแล้ว
4. decomposition - การถลายตัวของสารชนิดหนึ่งไปเป็นสารที่มีน้ำหนักโมเลกุลต่ำลงหรือเป็นชาตุ เช่น น้ำ CaCO_3 ไปเป็น จะถลายตัวให้แคลเซียมออกไซด์และแกสคาร์บอนไดออกไซด์ ดังนี้



5. dehydration - กระบวนการจัดตัวน้ำ (H_2O) ออกจากสารประกอบหรือของผสม โดยการทำให้แห้งหรือให้ความร้อนหรือโดยกระบวนการดูดซับ (adsorption) หรือดูดกลืน (absorption)
6. hydrate - สารประกอบซึ่งมี H_2O โมเลกุล เป็นส่วนหนึ่งของสูตรตัว
7. hydroxylation - การเพิ่มนิวเคลียต์ OH^- เข้าไปในโมเลกุลของสาร

Thermal Analysis

8. curve, n - (ในการทดสอบ TA) การเรียงกราฟระหว่างค่าที่ได้จากการทดสอบเทียบกับอุณหภูมิหรือเวลา
9. derivative, adj - การหาอนุพันธ์ยันดับที่หนึ่ง (ในทางคณิตศาสตร์) ของเส้นโค้งใด ๆ
10. differential, adj - ความแตกต่างของปริมาณสารที่ได้จากการวัด
11. differential scanning calorimetry, (DSC) - วิธีทดสอบหาความแตกต่างของพลังงานที่ใช้ระหว่างตัวอย่างทดสอบและสารมาตรฐาน วัดเป็นความสัมพันธ์ของอุณหภูมิภายใต้การควบคุมอุณหภูมิในขณะทดสอบ
12. differential thermal analysis, (DTA) - วิธีทดสอบหาความแตกต่างของอุณหภูมิระหว่างตัวอย่างทดสอบและสารมาตรฐาน วัดเป็นความสัมพันธ์ของอุณหภูมิ ภายใต้การควบคุมอุณหภูมิขณะทดสอบ
13. peak temperature - เป็นอุณหภูมิ ที่แสดงถึงค่าที่มากที่สุด หรือน้อยที่สุดของเส้นโค้ง ภายในช่วงอุณหภูมิที่กำหนด
14. simultaneous, adj - (ในการทดสอบ TA) การทดสอบตัวอย่างที่มากกว่า 1 วิธี ภายในเวลาเดียวกัน และตัวอย่างเดียวกัน
15. thermal analysis, (TA) - วิธีการทดสอบคุณสมบัติทางกายภาพ (Physical Properties) ของสารเคมีโดยทำการทดสอบวัดเป็นความสัมพันธ์ของอุณหภูมิ ภายใต้การควบคุมอุณหภูมิในขณะทดสอบ
16. thermogravimetry, (TG) - วิธีการทดสอบนำน้ำหนักของตัวอย่าง วัดเป็นความสัมพันธ์ของอุณหภูมิ ภายใต้การควบคุมอุณหภูมิในขณะที่ทดสอบ บันทึกผลเป็น TG Curve

วิธีการคำนวณมวลโมเลกุล (Molecular Weight, MW.)

มวลโมเลกุล (Molecular Weight) คือผลรวมของน้ำหนักอะตอมของธาตุทุก ๆ ธาตุคิด
ที่มีอยู่ในสารนั้น 1 โมเลกุล เช่น น้ำหนักโมเลกุลของน้ำ H_2O มีค่าเท่ากับ $(1 \times 2) + (16 \times 1) = 18$

น้ำหนักอะตอม (Atomic Weight) คือน้ำหนักเฉลี่ยของอะตอมของธาตุนั้น ทุก ๆ ไอโซโทป คิดตามเปอร์เซ็นต์ของไอโซโทปที่มีอยู่จริงของธาตุนั้นในธรรมชาติโดยกำหนดให้ C มีน้ำหนักอะตอมเท่ากับ 12 เป็นมาตรฐาน

ไอโซโทป (Isotope) คืออะตอมของธาตุที่มีจำนวนprotoอนุภาคและจำนวนนิวเคลียร์ไม่เท่ากัน หรือกล่าวอีกนัยหนึ่งคือ อะตอมของธาตุเดียวกันที่มีมวลต่างกัน

ตารางแสดงมวลโมเลกุลของสารประกอบต่าง ๆ

สารประกอบ	มวลโมเลกุล
$3CaO \cdot SiO_2$	228
$2CaO \cdot SiO_2$	172
H_2O	18
$3CaO \cdot 2SiO_2 \cdot 3H_2O$	342
$Ca(OH)_2$	74
CaO	56
SiO_2	60

ELECTRICITY GENERATING AUTHORITY OF THAILAND
MAE MOH MINE PLANNING AND ADMINISTRATION DEPARTMENT
ASH ANALYSIS REPORT

SOURCE : UNIT 5
 ANALYED BY : DUANGPORN,SANGUAN,
 SURAPOL,SOMBOON

DATE RECEIVED : 08/08/37
 DATE OF ANALYSIS : 29/08/37
 CHEMIST : *k. Punccharas*
 (MISS.PUNCHARAS KAEWWICHIEN)

SAMPLE No.	DATE SAMPLING	TIME	ASH COMPOSITION(%)										MOISTURE	LOI	FREE LIME	
			SiO ₂	Al ₂ O ₃	Fe ₂ O ₃	CaO	MgO	Na ₂ O	K ₂ O	TiO ₂	Mn ₃ O ₄	*SO ₃				
1	05/08/37	09.30	34.80	18.15	14.17	22.62	3.02	0.90	2.19	0.35	0.16	3.64	3.28	0.25	0.20	0.72
2	05/08/37	13.15	33.05	17.43	14.50	24.64	3.12	1.02	2.25	0.33	0.18	3.49	3.26	0.25	0.19	0.99
3	05/08/37	16.00	32.29	17.19	14.91	24.54	3.20	1.03	1.97	0.33	0.18	3.63	3.33	0.24	0.24	1.13
4	06/08/37	08.50	30.60	17.46	14.69	26.07	3.46	1.12	1.99	0.31	0.17	4.14	4.11	0.26	0.14	1.42
5	06/08/37	09.50	31.52	17.13	14.97	24.91	3.36	1.14	2.00	0.33	0.17	4.47	4.27	0.27	0.27	1.35
Ref. ASTM C 618			MIN 50			Available alkalies as Na ₂ O,Max%1.5			MAX 5			MAX 3		MAX 6		
CLASS C																

NOTE:- Na₂O, This optional requirement applies only when specifically requested.

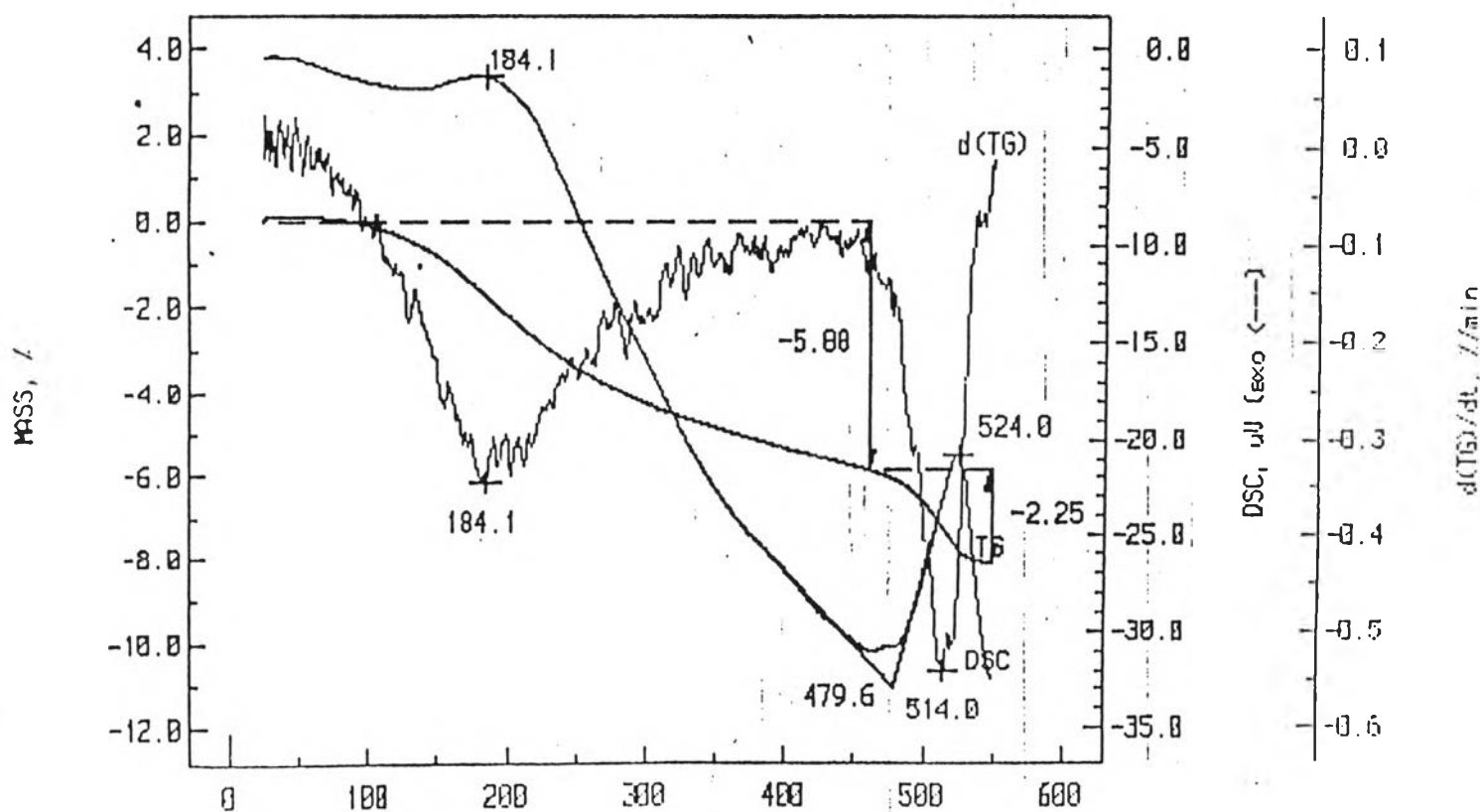
R₂O = 0.66K₂O + Na₂O (Equivalent Alkalies)

REMARK : * = MAE MOH MINE LABORATORY SECTION
 ** = POWER STATION LABORATORY

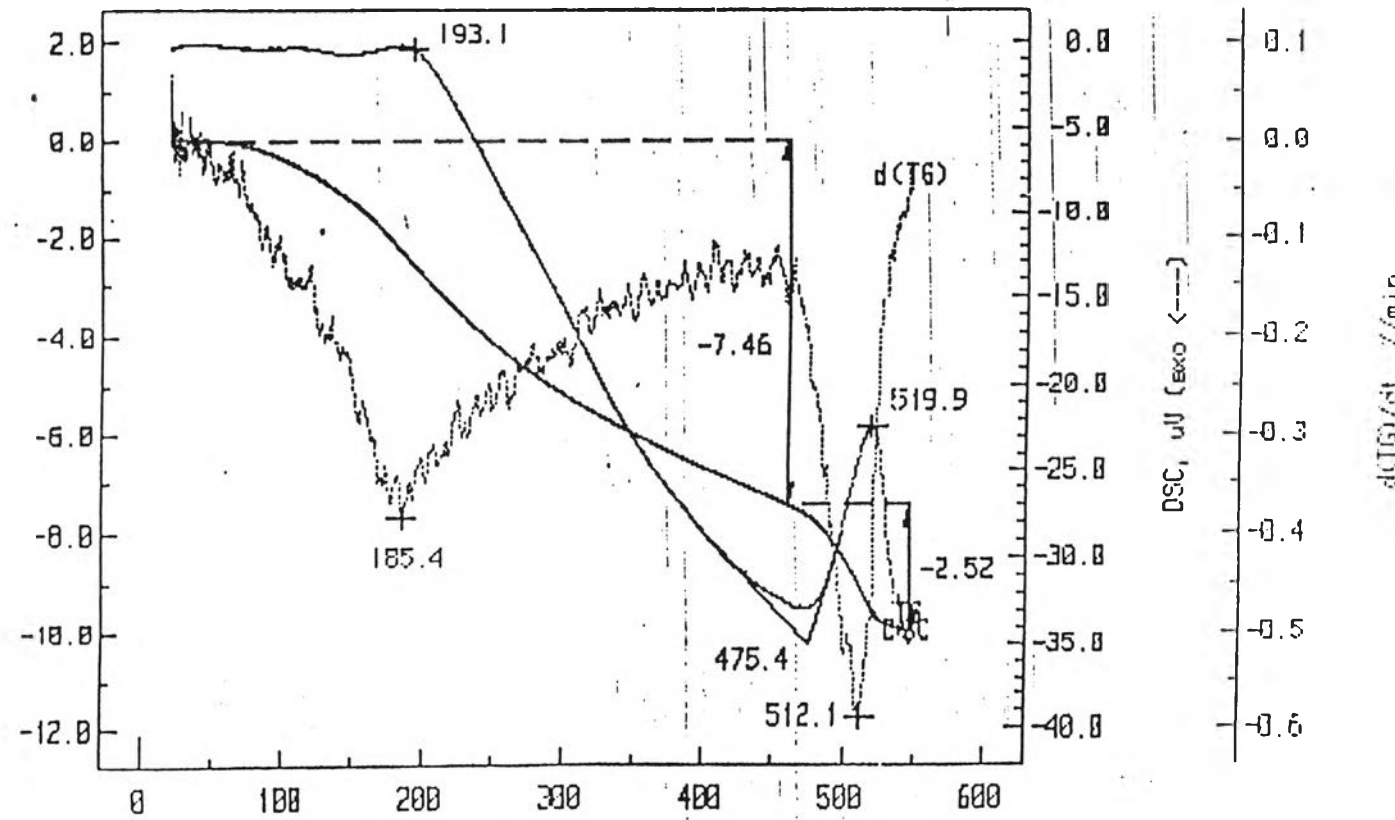
P. Sirintip

(MRS. SIRINTIP PAKDEESONGKRAM)
 HEAD OF LABORATORY SECTION

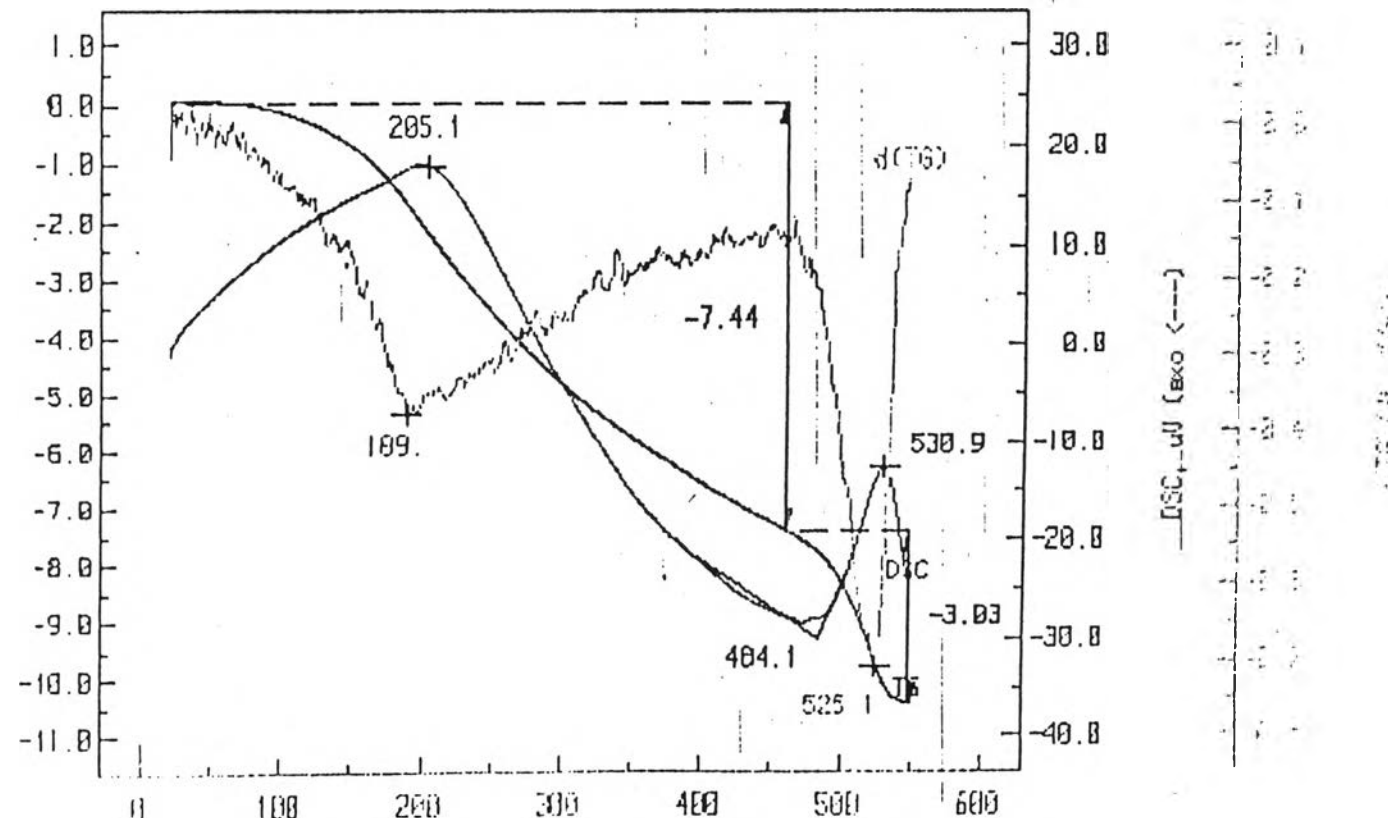
DATE	: 26 Mar 1996	DESCRIPTION	SAMPLE	REFERENCE
TIME	: 15:45:32	WEIGHT	mg	180.0 200.0
PROJECT I.D.	: STRUCTURE	CHANNEL	RANGE	
TEST I.D.	: N43	TEMPERATURE	: 4000	X
SAMPLE	: 0.32CE-1d	MASS	: 500	010001
REFERENCE	: AL203	DSC	: 500	010000
HEATING RATE	: 10	d(TG)/dt	---	X
TEMP RANGE	: 20/600			
ATMOSPHERE	: N2			
FLOW RATE	: 50			
INSTRUMENT	: NETZSCH STA 409 C			

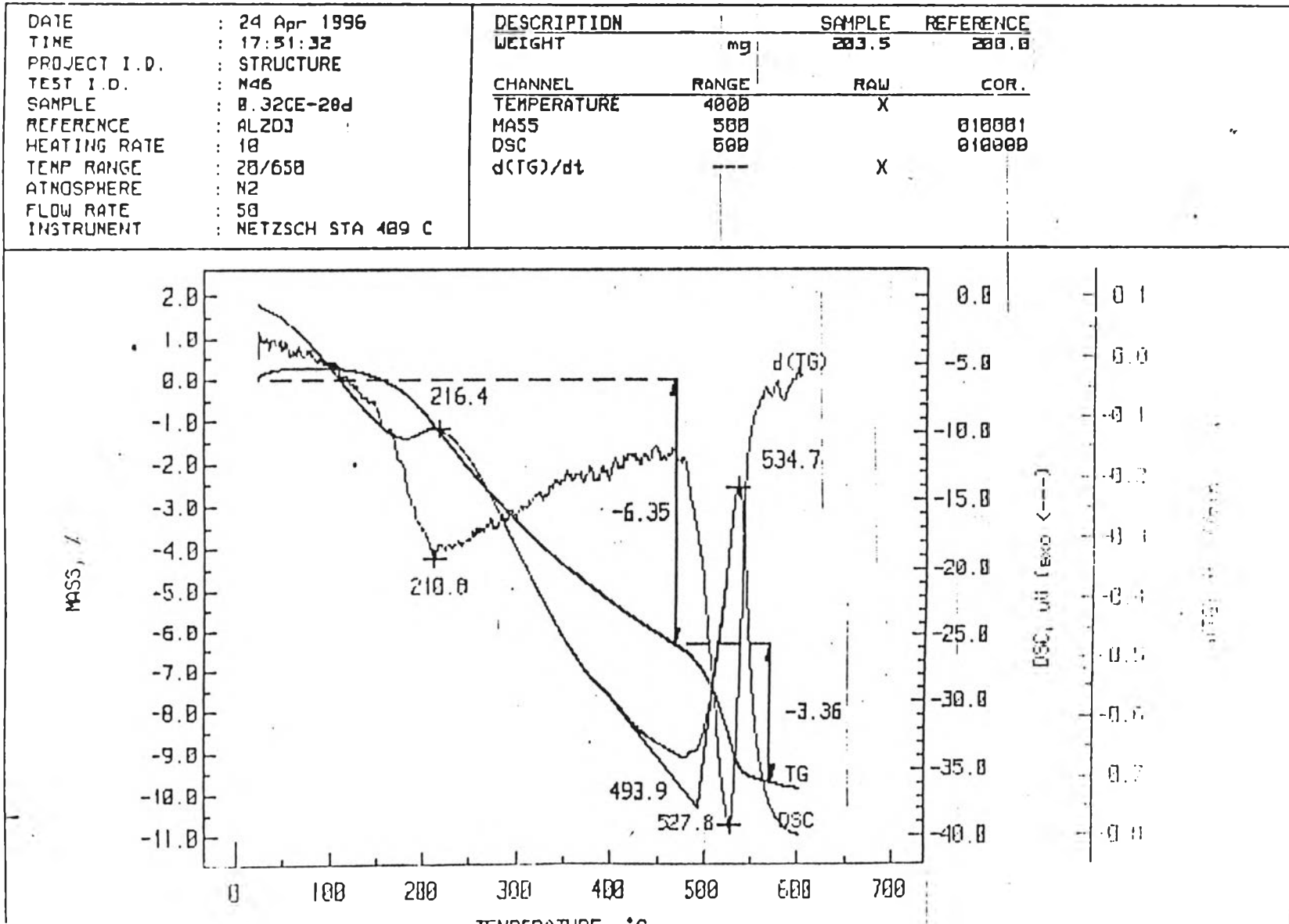


DATE	28 Mar 1996	DESCRIPTION	SAMPLE	REFERENCE
TIME	12:59:53	WEIGHT	193.1	230.0
PROJECT I.D.	STRUCTURE	CHANNEL	RAW	COR.
TEST I.D.	N48	TEMPERATURE	4000	X
SAMPLE	0.32CE-3d	MASS	500	010001
REFERENCE	AL203	DSC	500	010000
HEATING RATE	10	d(TG)/dt	---	X
TEMP RANGE	20/600			
ATMOSPHERE	N2			
FLOW RATE	50			
INSTRUMENT	NETZSCH STA 409 C			



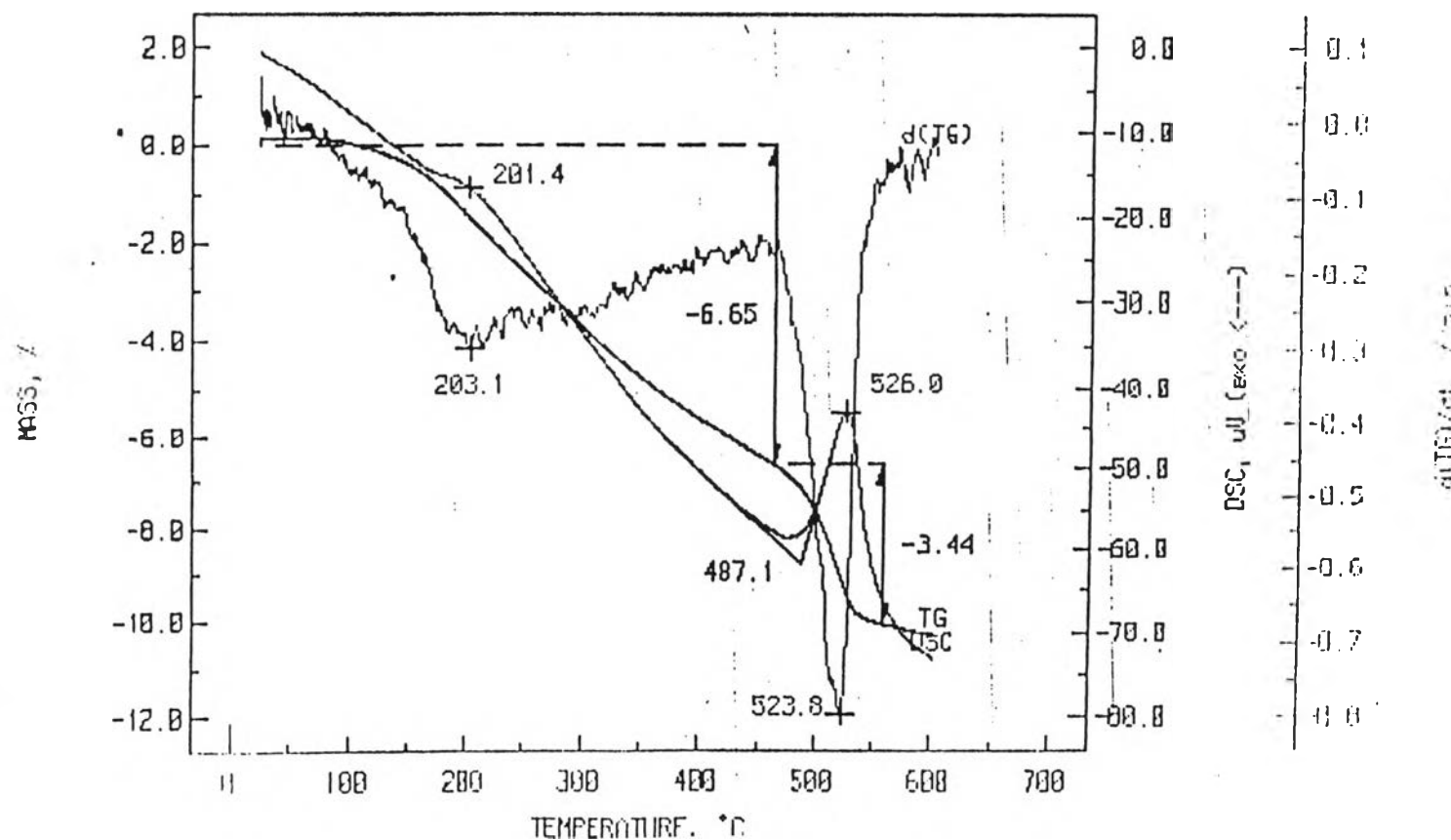
DATE	2 Apr 1996	DESCRIPTION	SAMPLE	REFERENCE
TIME	13:55:57	WEIGHT	216.4	200.0
PROJECT I.D.	STRUCTURE	CHANNEL	RANGE	COR.
TEST I.D.	N11	TEMPERATURE	4000	X
SAMPLE	0.32CE-7d	MASS	500	0100001
REFERENCE	AL203	DSC	500	0100000
HEATING RATE	10	d(TG)/dt	---	X
TEMP RANGE	20/600			
ATMOSPHERE	N2			
FLOW RATE	50			
INSTRUMENT	NETZSCH STA 409 C			

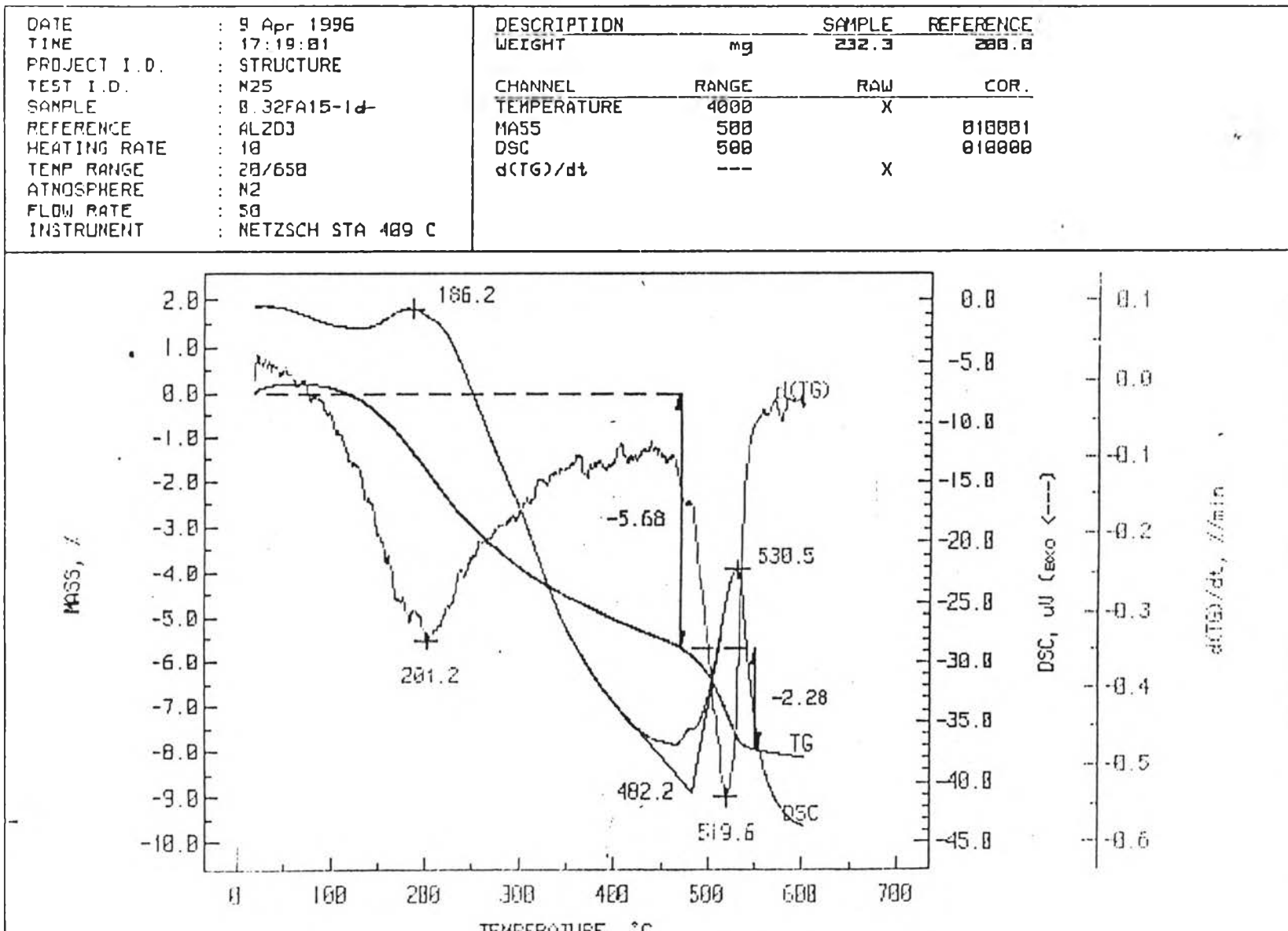




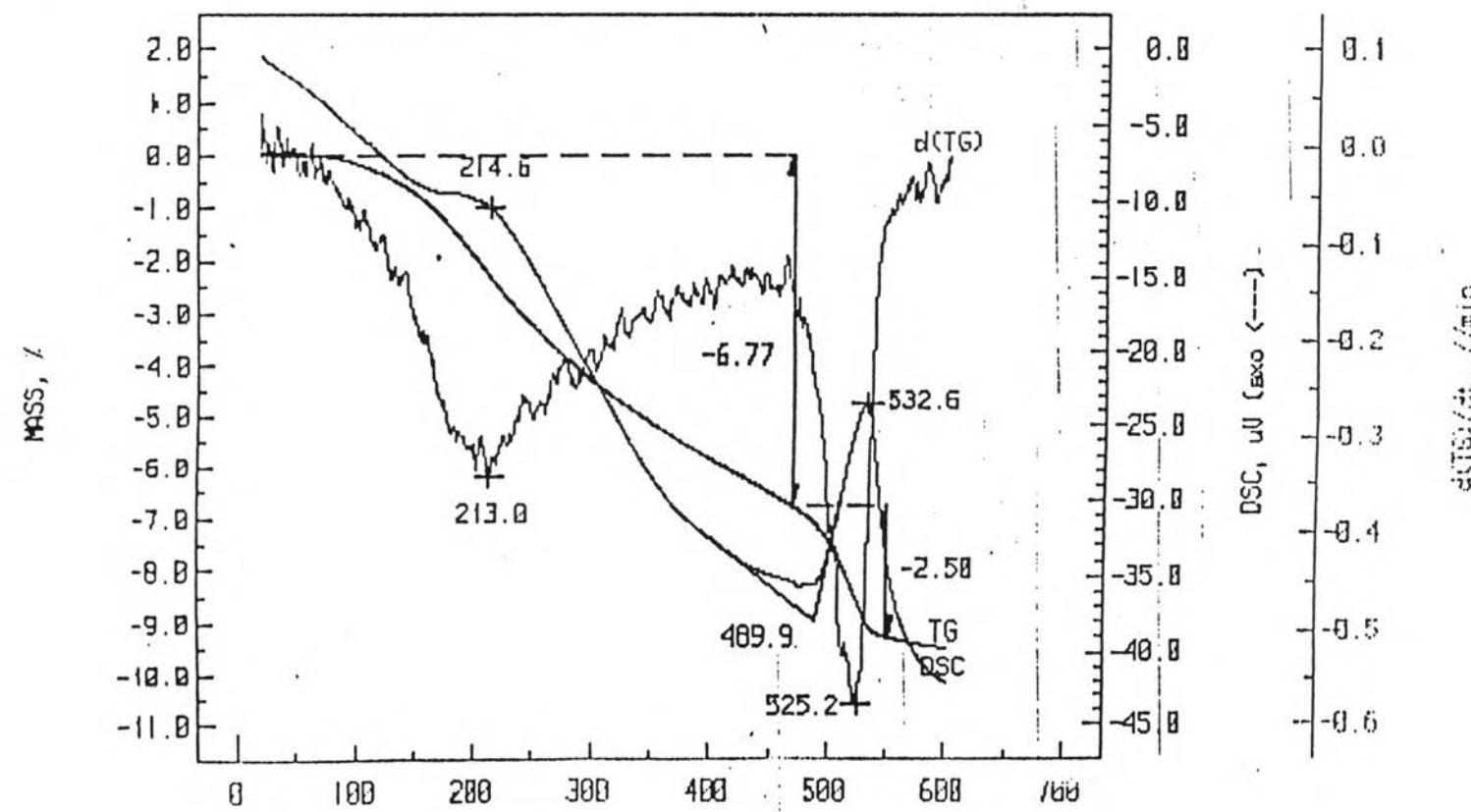
DATE : 20 May 1996
 TIME : 15:53:14
 PROJECT I.D. : STRUCTURE
 TEST I.D. : M27
 SAMPLE : 0.32CE-56d
 REFERENCE : AL2D0J
 HEATING RATE : 10
 TEMP RANGE : 20/650
 ATMOSPHERE : N2
 FLOW RATE : 50
 INSTRUMENT : NETZSCH STA 409 C

DESCRIPTION	SAMPLE	REFERENCE
WEIGHT mg	200.0	200.0
CHANNEL	RANGE	
TEMPERATURE	4000	X
MASS	500	
DSC	500	010001
d(TG)/dt	---	010000

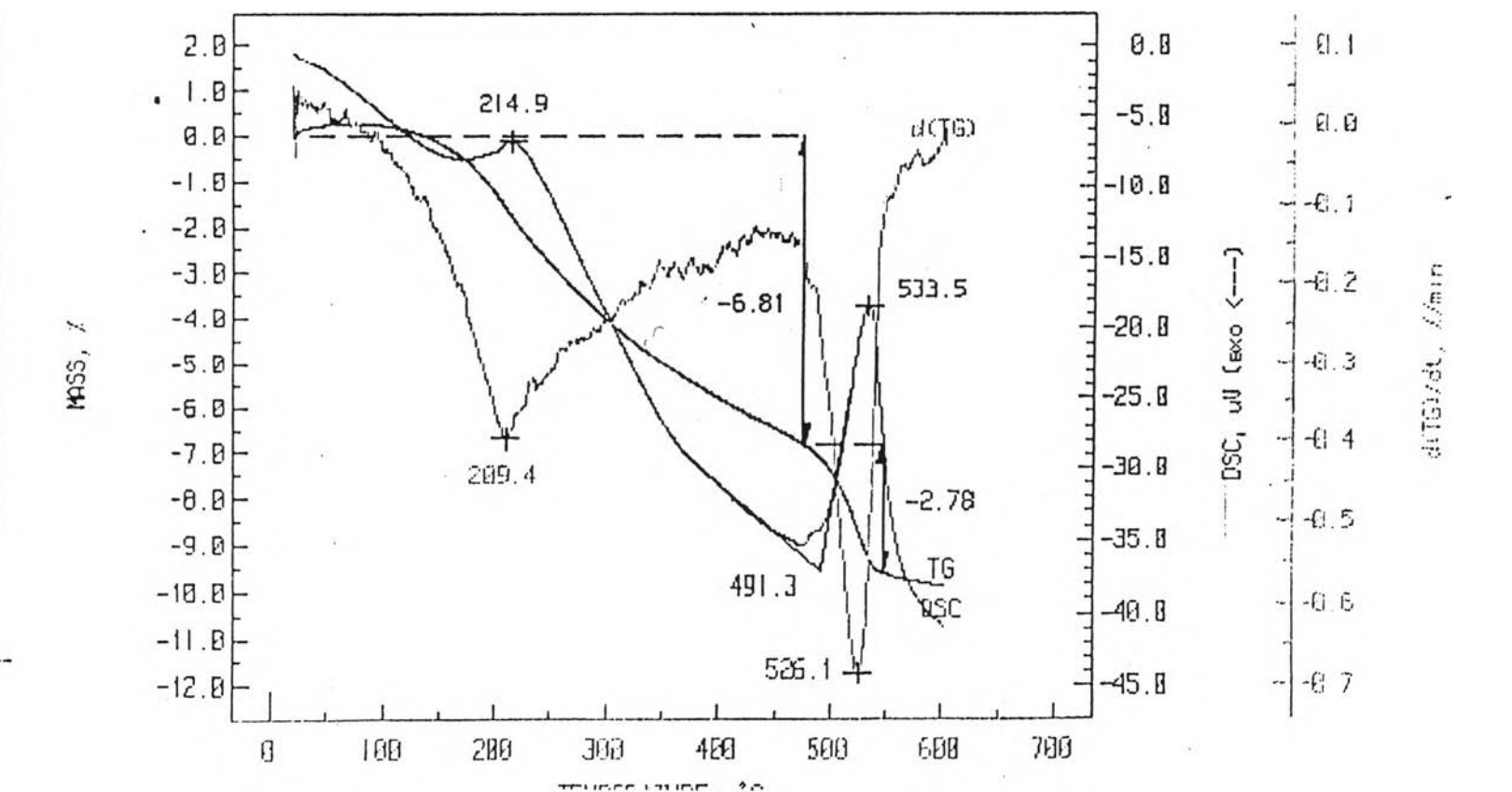




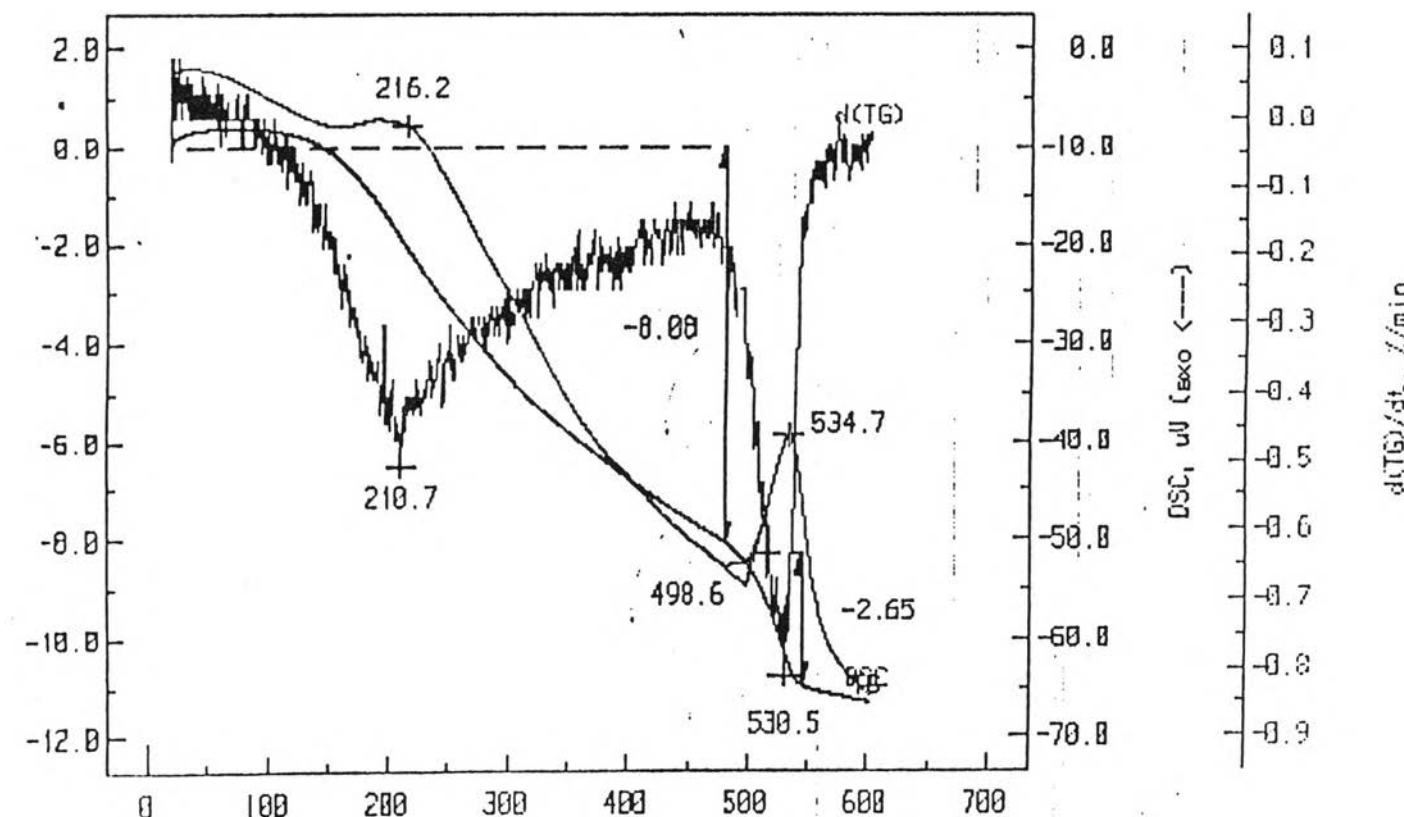
DATE	: 11 Apr 1996	DESCRIPTION	SAMPLE	REFERENCE
TIME	: 13:39:34	WEIGHT	mg	200.2
PROJECT I.D.	: STRUCTURE			200.0
TEST I.D.	: N29	CHANNEL	RANGE	RAW
SAMPLE	: B_32FA15-3d	TEMPERATURE	4000	X
REFERENCE	: AL2D1	MASS	500	010001
HEATING RATE	: 10	DSC	500	010000
TEMP RANGE	: 20/650	d(TG)/dt	---	X
ATMOSPHERE	: N2			
FLOW RATE	: 50			
INSTRUMENT	: NETZSCH STA 489 C			



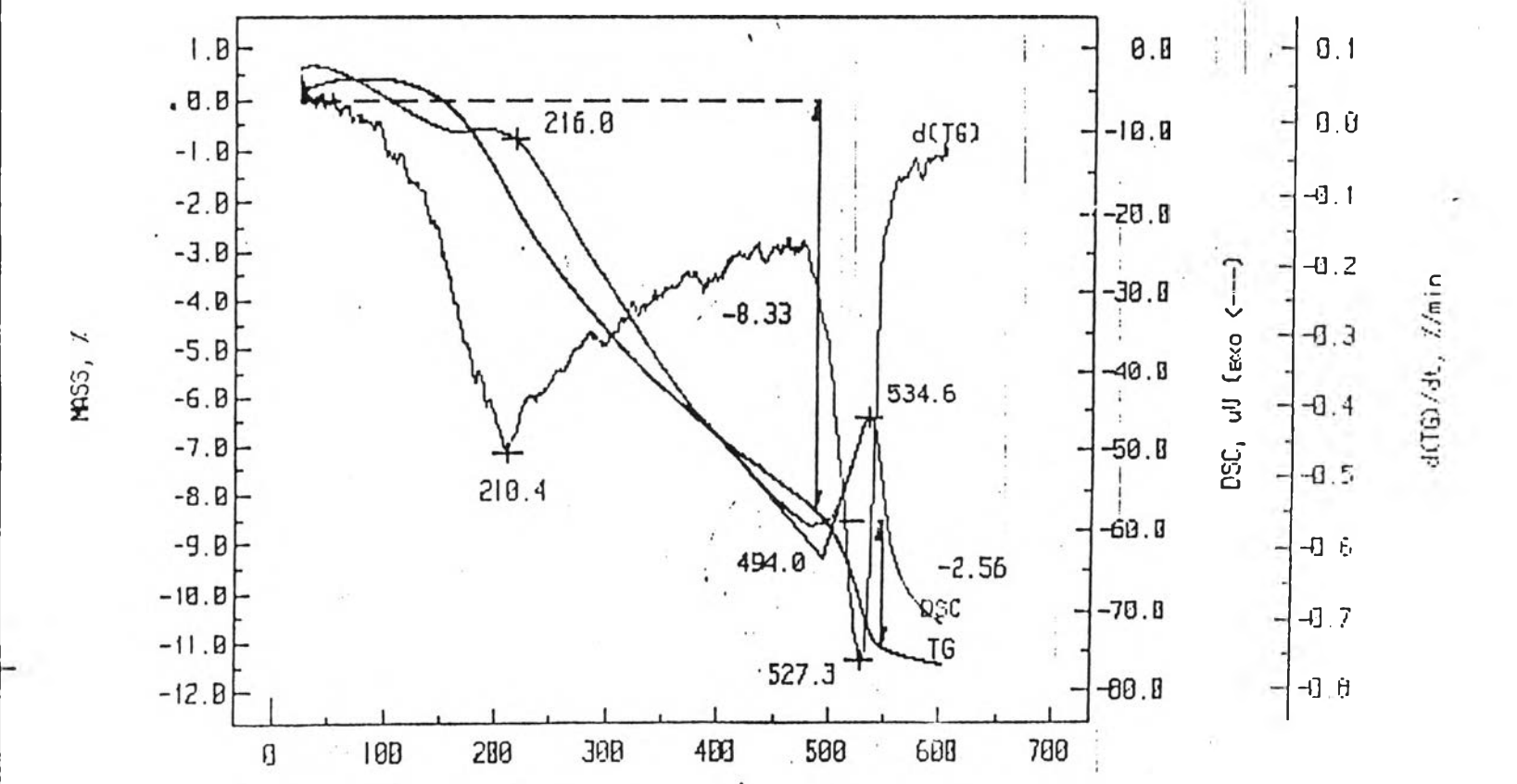
DATE	: 16 Apr 1996	DESCRIPTION	SAMPLE	REFERENCE
TIME	: 17:14:41	WEIGHT	mg	200.2
PROJECT I.D.	: STRUCTURE	CHANNEL	RANGE	200.0
TEST I.D.	: N33	TEMPERATURE	4000	X
SAMPLE	: 0.32FA15-7d	MASS	500	010001
REFERENCE	: AL203	DSC	500	010000
HEATING RATE	: 10	d(TG)/dt	---	X
TEMP RANGE	: 20/650			
ATMOSPHERE	: N2			
FLOW RATE	: 50			
INSTRUMENT	: NETZSCH STA 409 C			



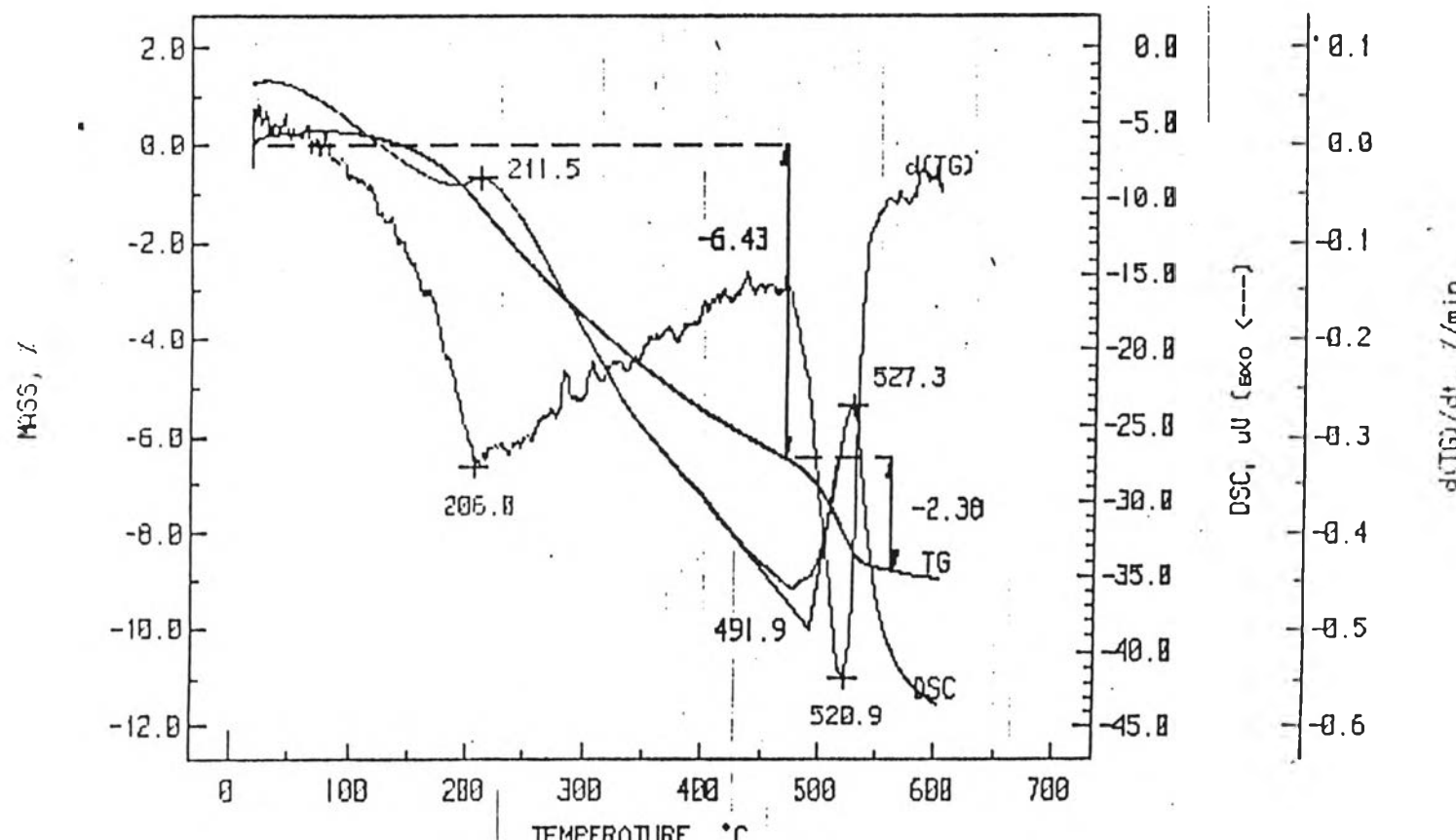
DATE	: 17 May 1996	DESCRIPTION	SAMPLE	REFERENCE
TIME	: 15:12:35	WEIGHT	mg	197.2 200.0
PROJECT I.D.	: STRUCTURE	CHANNEL	RANGE	
TEST I.D.	: N24	TEMPERATURE	4000	X
SAMPLE	: FA15-28d /2	MASS	500	X
REFERENCE	: ALZDJ	DSC	500	X
HEATING RATE	: 10	d(TG)/dt	---	X
TEMP RANGE	: 20/650			
ATMOSPHERE	: N2			
FLOW RATE	: 50			
INSTRUMENT	: NETZSCH STA 409 C			



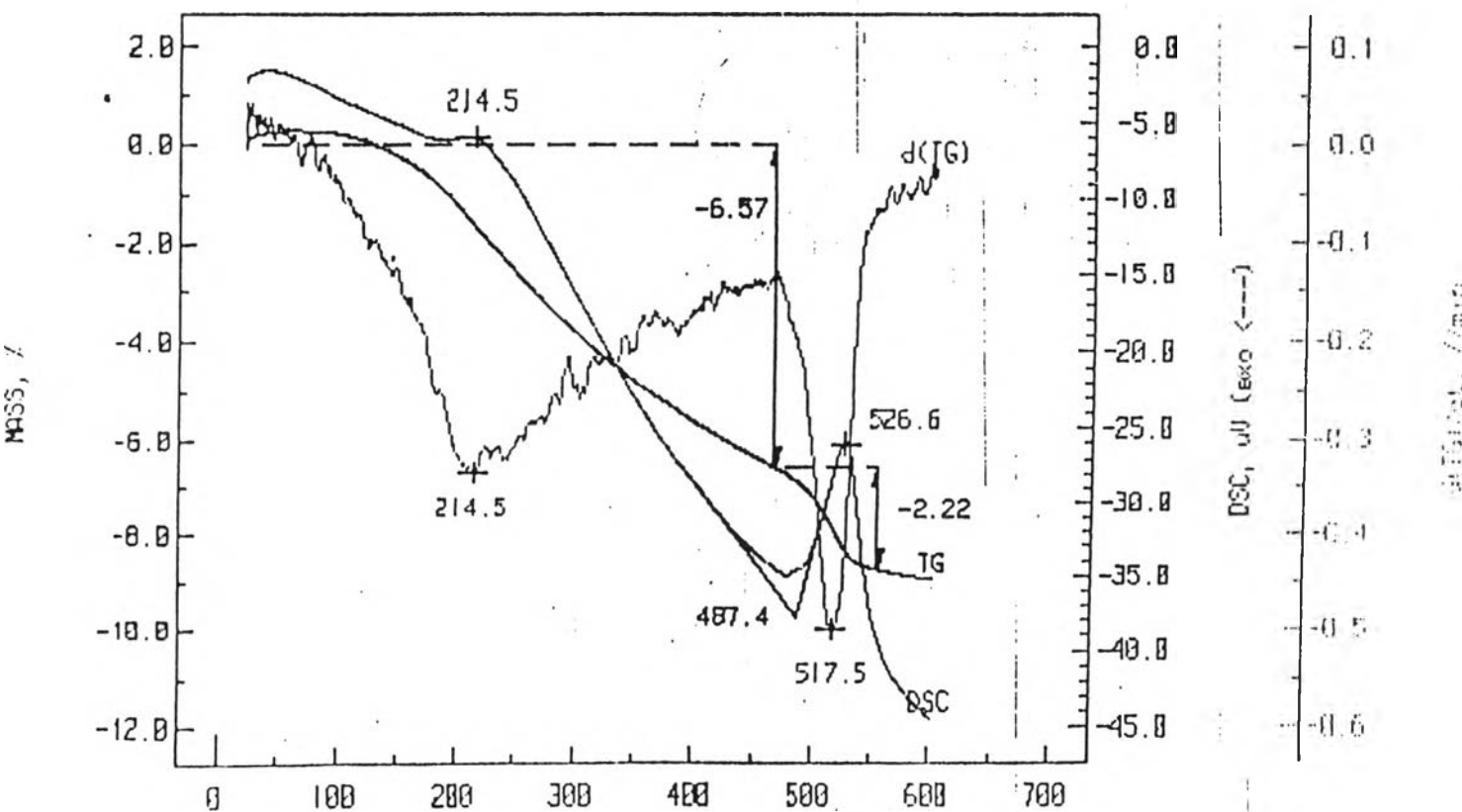
DATE	11 Jun 1996	DESCRIPTION	SAMPLE	REFERENCE
TIME	15:45:31	WEIGHT	mg	201.1 200.0
PROJECT I.D.	STRUCTURE	CHANNEL	RANGE	RAW COR.
TEST I.D.	N36	TEMPERATURE	4000	X
SAMPLE	0_32FA15-86d	MASS	500	000001
REFERENCE	AL203	DSC	800	X
HEATING RATE	10	d(TG)/dt	---	X
TEMP RANGE	20/650			
ATMOSPHERE	N2			
FLOW RATE	50			
INSTRUMENT	NETZSCH STA 409 C			



DATE	2 May 1996	DESCRIPTION	SAMPLE	REFERENCE
TIME	16:36:29	WEIGHT	198.5	200.0
PROJECT I.D.	STRUCTURE	CHANNEL	RAW	COR.
TEST I.D.	N6	TEMPERATURE	4000	X
SAMPLE	0.32FA25-20d	MASS	500	000001
REFERENCE	ALZD1	DSC	500	X
HEATING RATE	10	d(TG)/dt	---	X
TEMP RANGE	20/650			
ATMOSPHERE	N2			
FLOW RATE	50			
INSTRUMENT	NETZSCH STA 409 C			

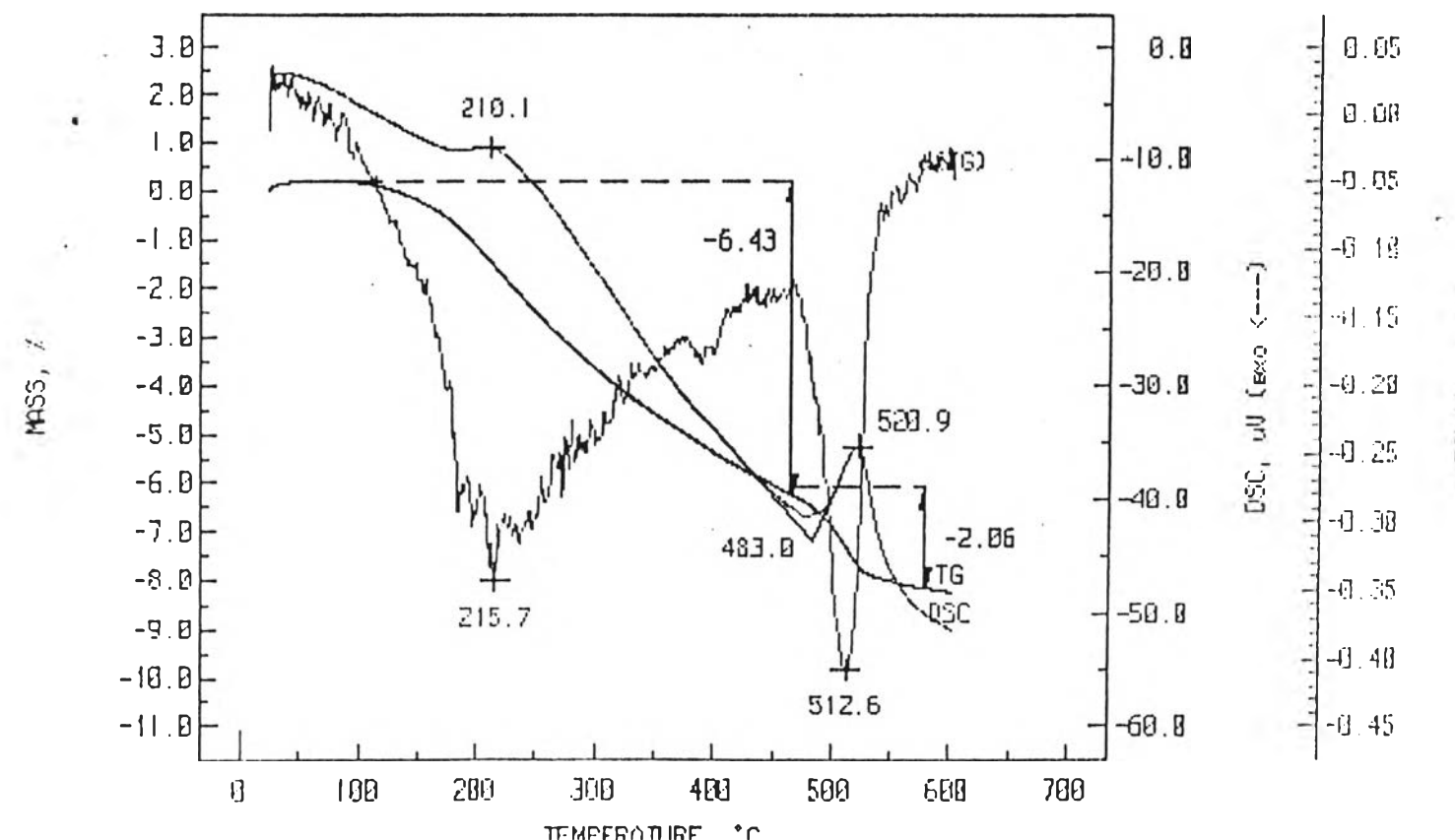


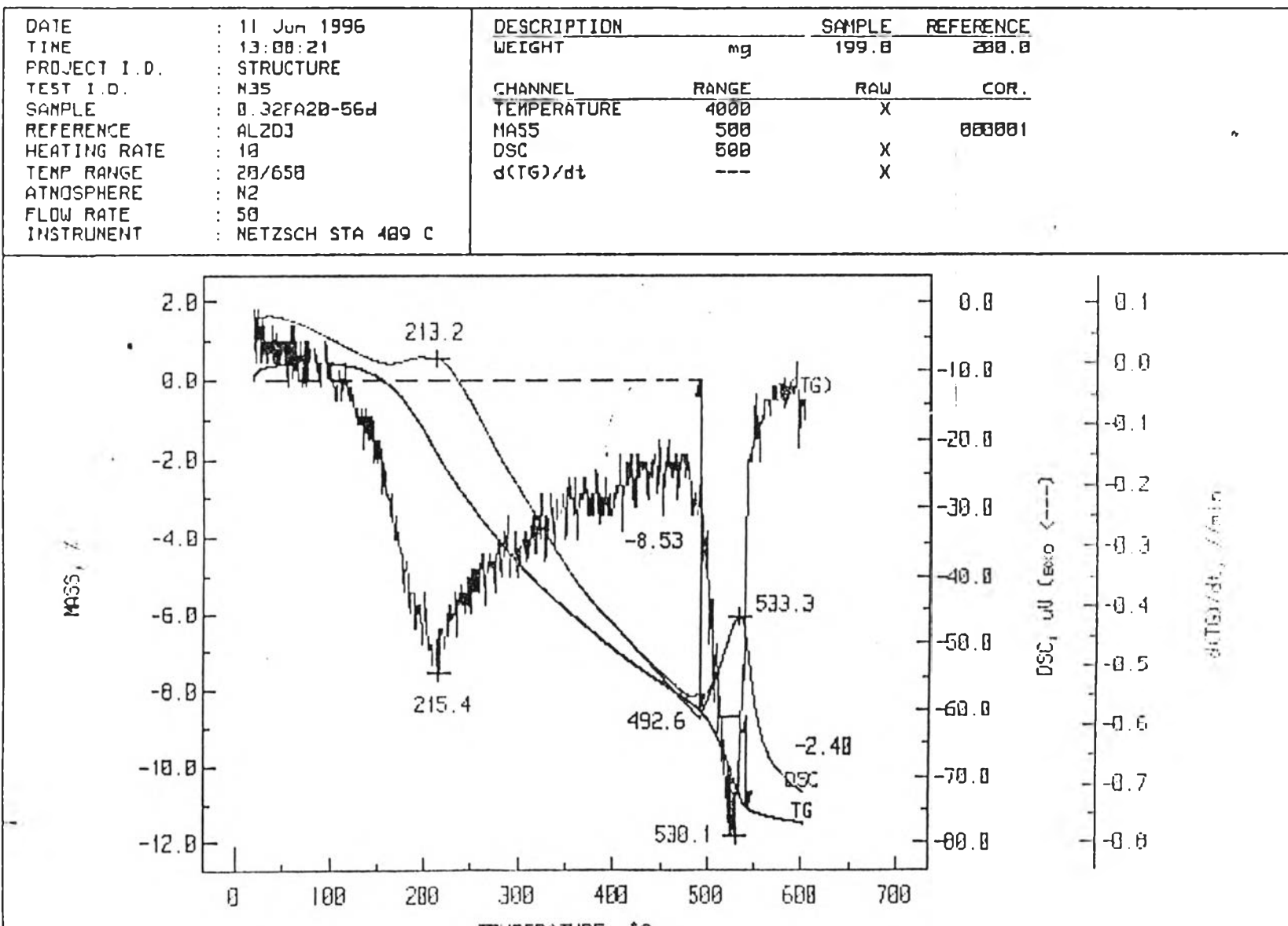
DATE	: 2 May 1996	DESCRIPTION	SAMPLE	REFERENCE
TIME	: 16:16:32	WEIGHT	mg	197.5 280.0
PROJECT I.D.	: STRUCTURE	CHANNEL	RANGE	RAW COR.
TEST I.D.	: M7	TEMPERATURE	4000	X
SAMPLE	: 0.32FA30-20d	MASS	500	000001
REFERENCE	: AL20J	D9C	500	
HEATING RATE	: 10	d(TG)/dt	---	X X
TEMP RANGE	: 20/650			
ATMOSPHERE	: N2			
FLOW RATE	: 50			
INSTRUMENT	: NETZSCH STA 409 C			



DATE : 9 May 1996
 TIME : 16:00:33
 PROJECT I.D. : STRUCTURE
 TEST I.D. : N15
 SAMPLE : 0.32FA35-20d
 REFERENCE : AL203
 HEATING RATE : 10
 TEMP RANGE : 20/650
 ATMOSPHERE : N2
 FLOW RATE : 50
 INSTRUMENT : NETZSCH STA 489 C

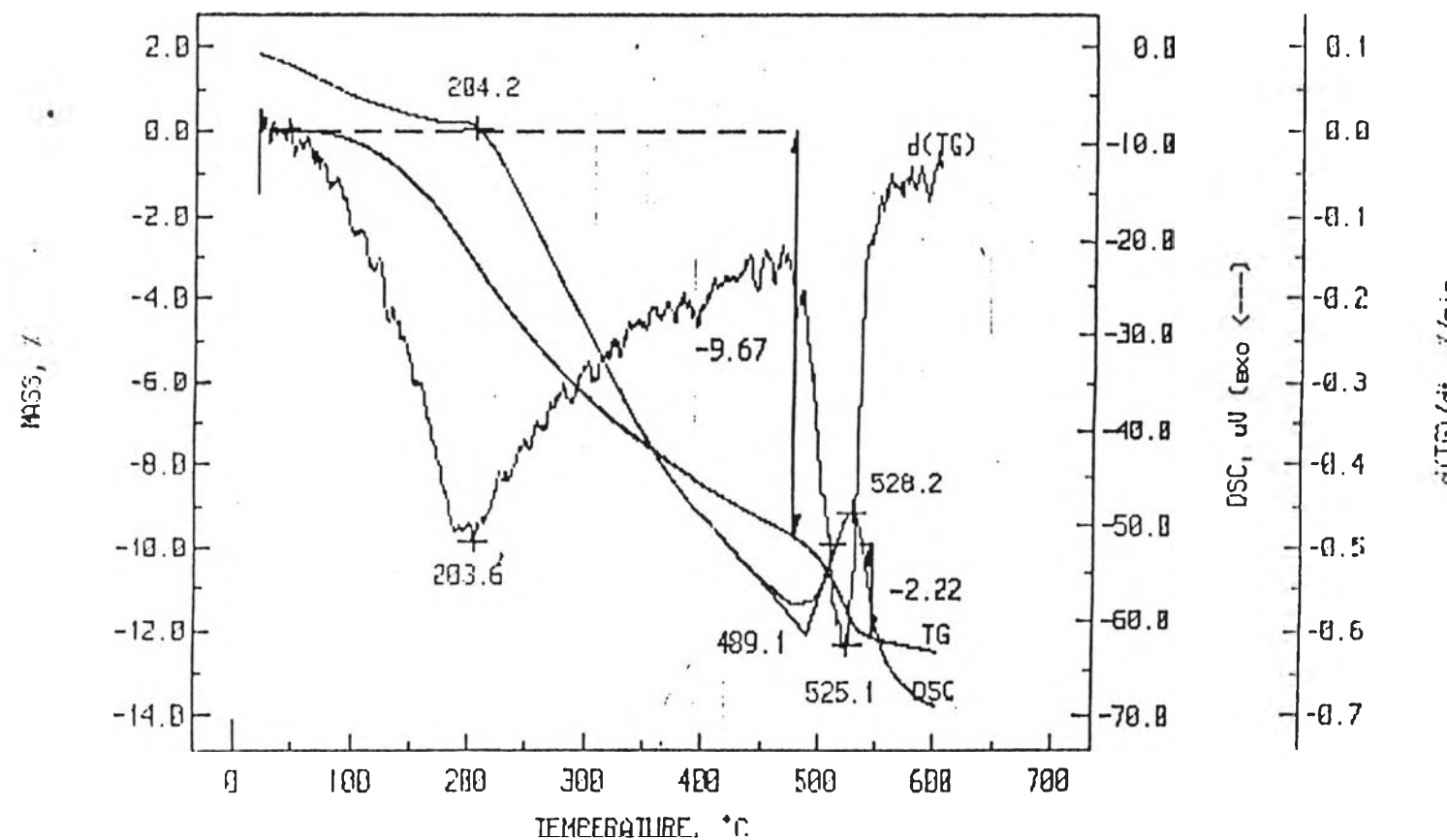
DESCRIPTION	SAMPLE	REFERENCE
WEIGHT mg	202.6	200.0
CHANNEL		
TEMPERATURE	4000	X
MASS	500	000001
DSC	500	X
d(TG)/dt	---	X

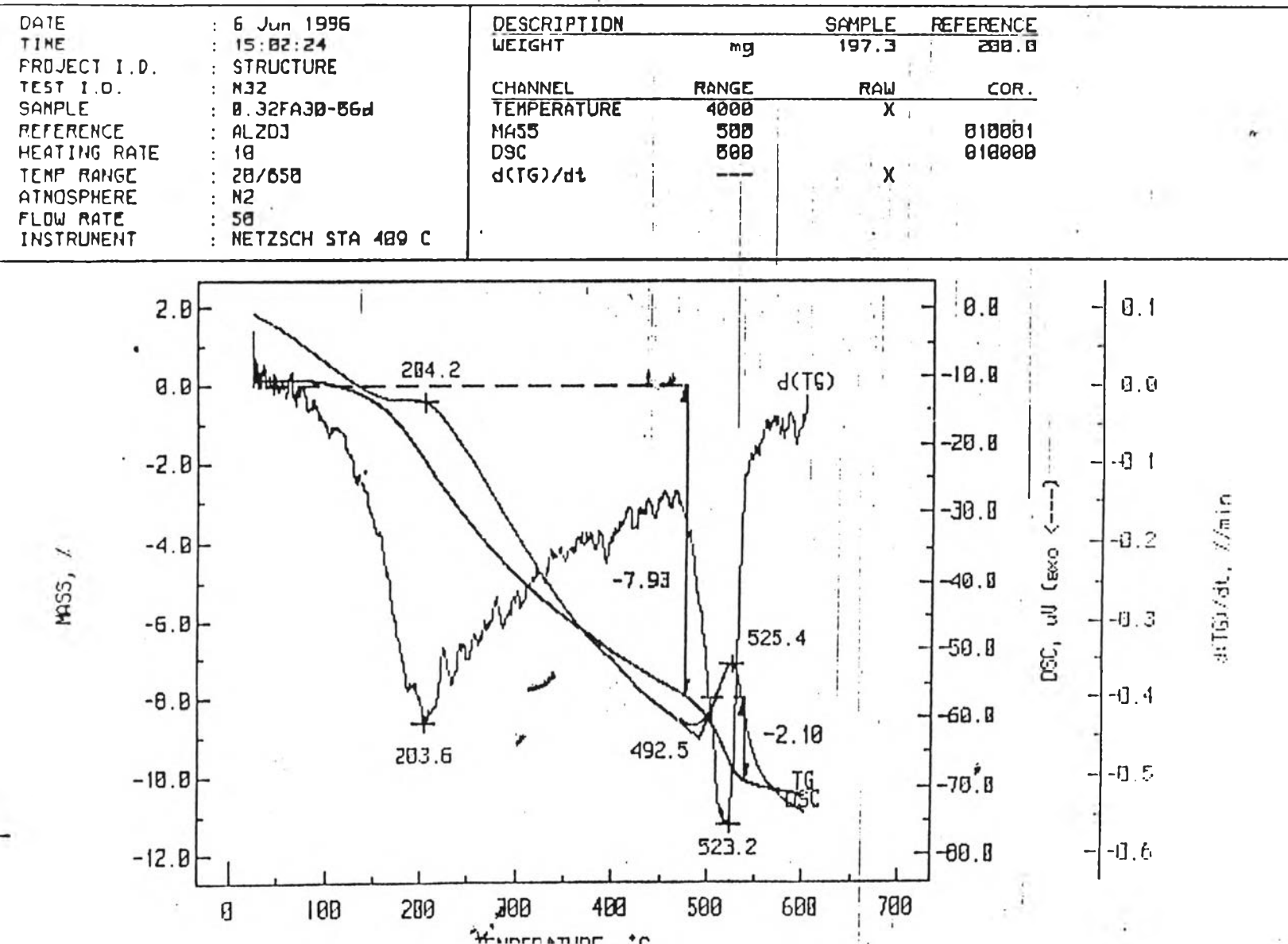




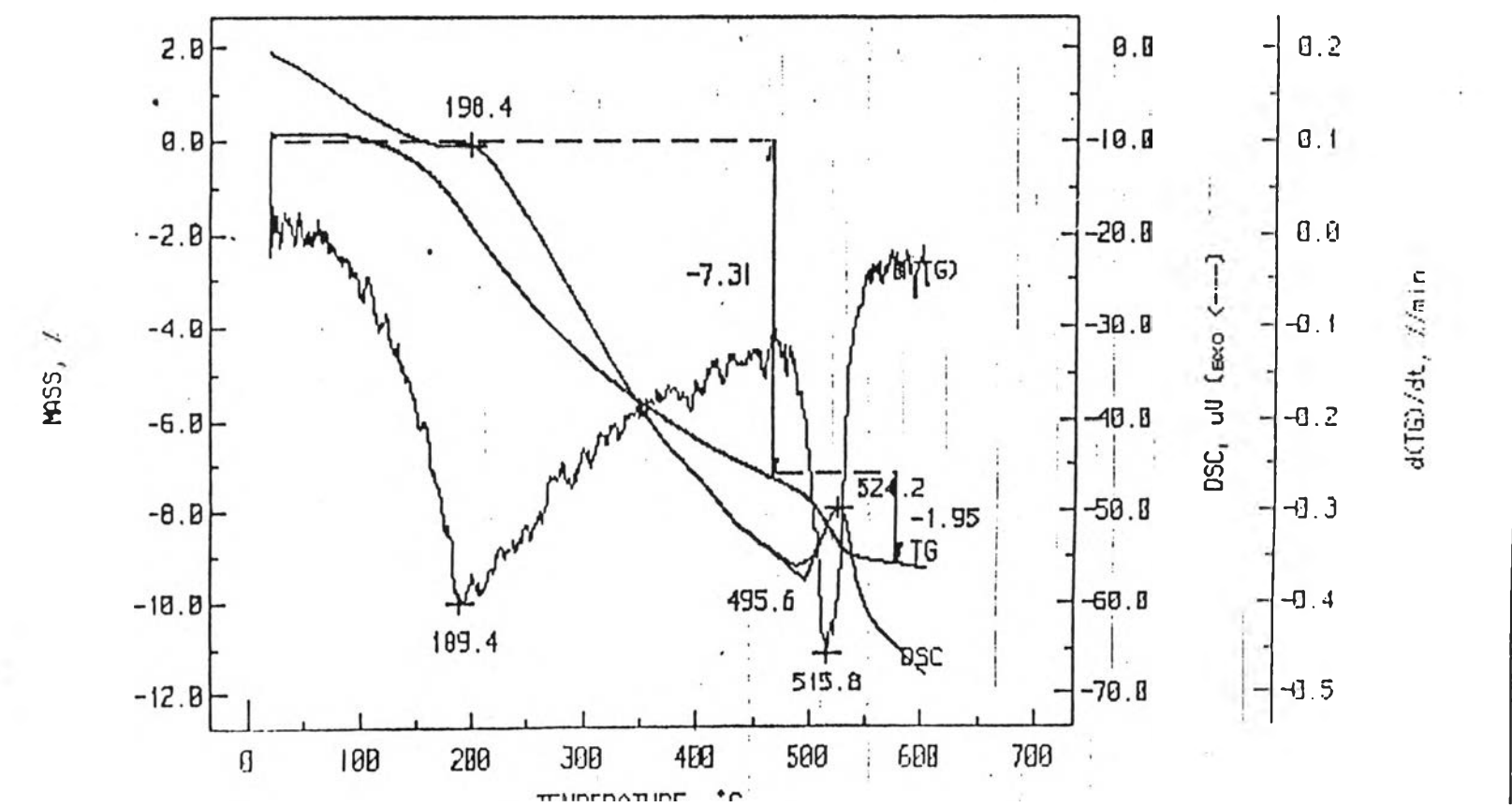
DATE : 5 Jun 1996
 TIME : 16:09:08
 PROJECT I.D. : STRUCTURE
 TEST I.D. : N30
 SAMPLE : 0_32FA25-56d
 REFERENCE : AL20J
 HEATING RATE : 10
 TEMP RANGE : 20/650
 ATMOSPHERE : N2
 FLOW RATE : 50
 INSTRUMENT : NETZSCH STA 489 C

DESCRIPTION	SAMPLE	REFERENCE	
WEIGHT	mg	281.4	280.0
CHANNEL			
TEMPERATURE	4000	X	
MASS	500		010001
DSC	500		010000
$d(TG)/dt$	---	X	





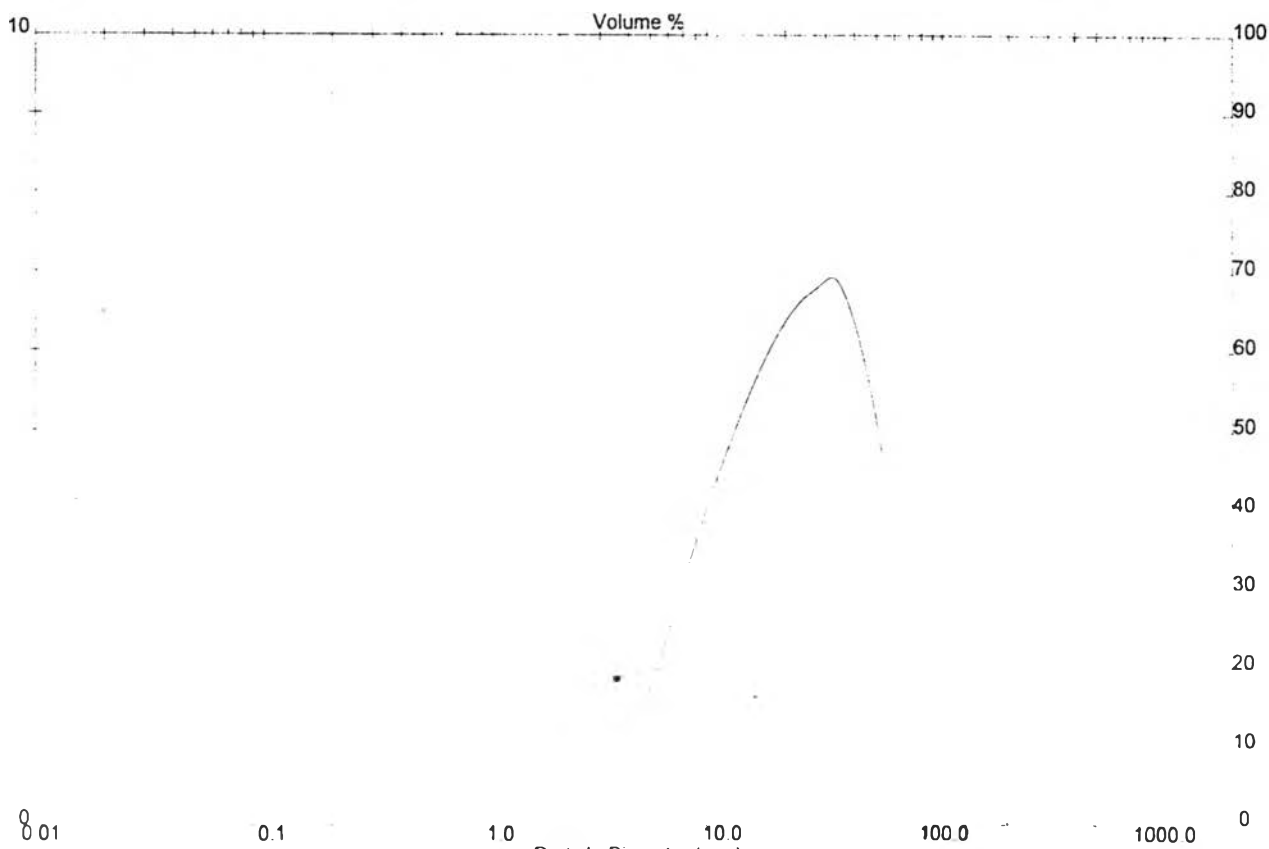
DATE	6 Jun 1996	DESCRIPTION	SAMPLE	REFERENCE
TIME	12:14:53	WEIGHT	197.8	200.0
PROJECT I.D.	STRUCTURE	CHANNEL	RANGE	
TEST I.D.	N31	TEMPERATURE	4000	X
SAMPLE	B.32FA35-66d	MASS	500	010001
REFERENCE	AL2D1	DSC	500	010000
HEATING RATE	10	d(TG)/dt	---	X
TEMP RANGE	20/650			
ATMOSPHERE	N2			
FLOW RATE	50			
INSTRUMENT	NETZSCH STA 409 C			





Result: Analysis Report

Sample Details				System Details			
Sample ID cement		Run Number	3	Measurement Date Tue Jun 25, 1996 1:04PM			
Sample File CEMENT		Record Number	6	Analysis Date Tue Jun 25, 1996 1:04PM			
Sample Path A\		Result Source Analysed					
Sample Notes Test by Praneet Scientific and Technological Research Equipment Centre Chulalongkorn University liquid medium water							
Range Lens: 300RF mm		Beam Length	2.40 mm	Sampler MS1		Obscuration 17.9 %	
Presentation 3SSD		[Fraunhofer]		Residual 0.232 %			
Analysis Model Polydisperse							
Modifications None							
Result Statistics							
Distribution Type: Volume		Concentration = 0.0180 %Vol		Density = 1.000 g / cub. cm		Specific SA = 0.9158 sq. m / g	
Mean Diameters:		D (v, 0.1) = 5.35 μ m		D (v, 0.5) = 21.11 μ m		D (v, 0.9) = 55.76 μ m	
D [4, 3] = 28.44 μ m		D [3, 2] = 6.55 μ m		Span = 2.388E+00		Uniformity = 8.392E-01	
Size_Low (μ m)	In %	Size_High (μ m)	Under%	Size_Low (μ m)	In %	Size_High (μ m)	Under%
0.05	0.00	0.06	0.00	6.63	3.08	7.72	16.40
0.06	0.00	0.07	0.00	7.72	3.89	9.00	20.09
0.07	0.00	0.08	0.00	9.00	4.26	10.48	24.35
0.08	0.00	0.09	0.00	10.48	4.80	12.21	29.15
0.09	0.00	0.11	0.00	12.21	5.29	14.22	34.44
0.11	0.00	0.13	0.00	14.22	5.72	16.57	40.16
0.13	0.00	0.15	0.00	16.57	6.11	19.31	46.27
0.15	0.02	0.17	0.02	19.31	6.42	22.49	52.69
0.17	0.06	0.20	0.08	22.49	6.65	26.20	59.35
0.20	0.11	0.23	0.19	26.20	6.80	30.53	66.15
0.23	0.16	0.27	0.35	30.53	6.90	35.56	73.05
0.27	0.23	0.31	0.58	35.56	6.52	41.43	79.58
0.31	0.29	0.36	0.87	41.43	5.82	48.27	85.40
0.36	0.35	0.42	1.22	48.27	4.84	56.23	90.24
0.42	0.41	0.49	1.63	56.23	3.70	65.51	93.94
0.49	0.45	0.58	2.08	65.51	2.57	76.32	96.51
0.58	0.47	0.67	2.55	76.32	1.57	88.91	98.08
0.67	0.47	0.78	3.02	88.91	0.79	103.58	98.87
0.78	0.42	0.91	3.44	103.58	0.27	120.67	99.14
0.91	0.37	1.06	3.83	120.67	0.00	140.58	99.14
1.06	0.32	1.24	4.14	140.58	0.00	163.77	99.14
1.24	0.26	1.44	4.40	163.77	0.00	190.80	99.14
1.44	0.22	1.68	4.62	190.80	0.05	222.28	99.19
1.68	0.20	1.95	4.82	222.28	0.17	258.95	99.36
1.95	0.23	2.28	5.05	258.95	0.22	301.68	99.58
2.28	0.30	2.65	5.35	301.68	0.21	351.46	99.79
2.65	0.45	3.09	5.80	351.46	0.14	409.45	99.93
3.09	0.68	3.60	6.48	409.45	0.07	477.01	100.00
3.60	1.00	4.19	7.48	477.01	0.00	555.71	100.00
4.19	1.42	4.88	8.90	555.71	0.00	647.41	100.00
4.88	1.93	5.69	10.83	647.41	0.00	754.23	100.00
5.69	2.49	6.83	13.32	754.23	0.00	878.67	100.00





Result: Analysis Report

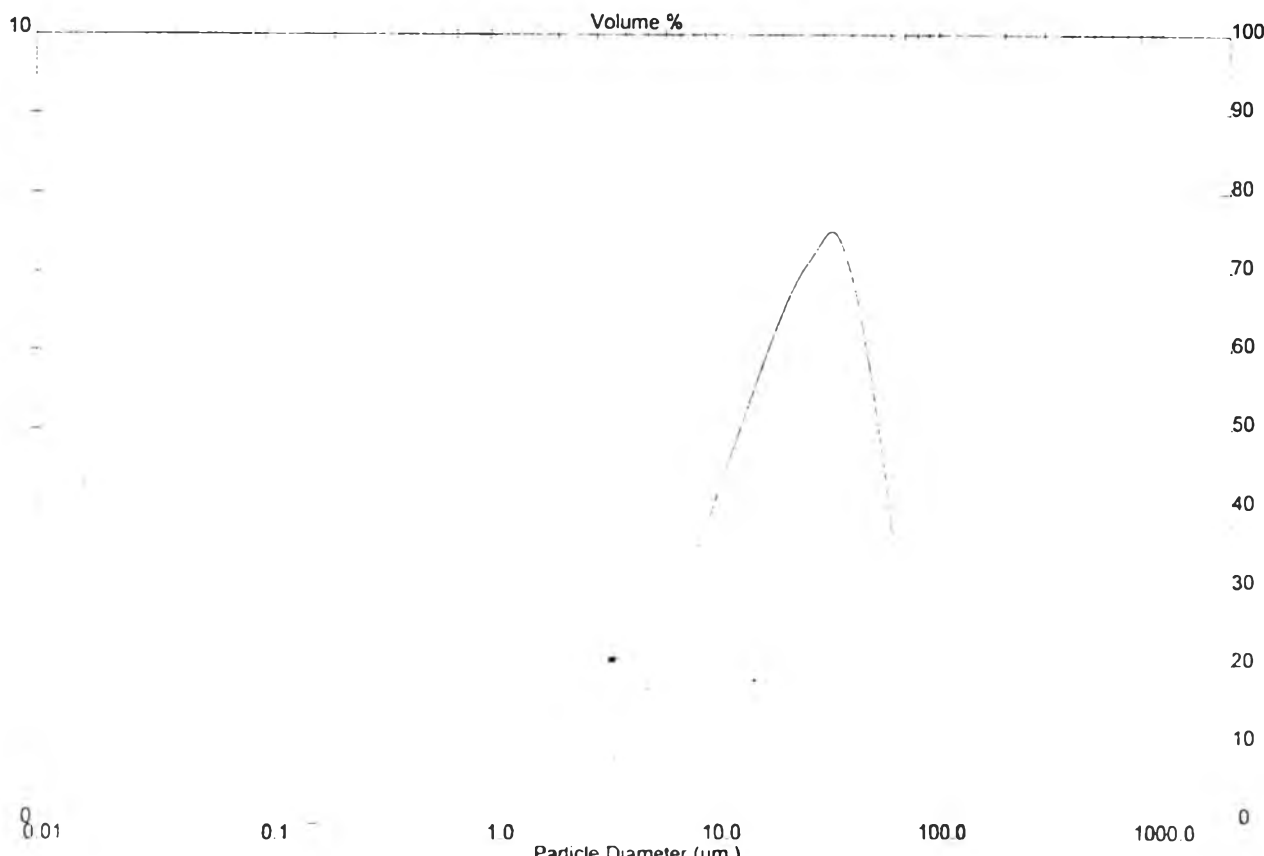
Sample Details		Measurement Data	
Sample ID cement	Run Number 8	Measurement Date Tue, Jun 25, 1996 1:09PM	
Sample File CEMENT	Record Number 9	Analysis Date Tue, Jun 25, 1996 1:09PM	
Sample Path A\		Result Source Analysed	

Sample Notes Test by Pranee Scientific and Technological Research Equipment Centre Chulalongkorn University
liquid medium water

System Details		Sampler MS1	Obscuration 18.0 %
Range Lens 300RF mm	Beam Length: 2.40 mm		
Presentation 3SD	[Fraunhofer]		
Analysis Model Polydisperse			Residual: 0.253 %
Modifications None			

Result Statistics			
Distribution Type: Volume	Concentration = 0.0185 %Vol	Density = 1.000 g / cub. cm	Specific SA = 0.8954 sq. m / g
Mean Diameters	D (v, 0.1) = 5.28 μ m	D (v, 0.5) = 21.67 μ m	D (v, 0.9) = 52.92 μ m
D [4, 3] = 25.91 μ m	D [3, 2] = 6.70 μ m	Span = 2.199E+00	Uniformity = 6.899E-01

Size_Low (μ m)	In %	Size_High (μ m)	Under%	Size_Low (μ m)	In %	Size_High (μ m)	Under%
0.05	0.00	0.06	0.00	6.63	2.90	7.72	16.24
0.06	0.00	0.07	0.00	7.72	3.45	9.00	19.69
0.07	0.00	0.08	0.00	9.00	3.99	10.48	23.68
0.08	0.00	0.09	0.00	10.48	4.54	12.21	28.21
0.09	0.00	0.11	0.00	12.21	5.08	14.22	32.29
0.11	0.00	0.13	0.00	14.22	5.61	16.57	38.91
0.13	0.00	0.15	0.00	16.57	6.14	19.31	45.04
0.15	0.01	0.17	0.01	19.31	6.61	22.49	51.65
0.17	0.05	0.20	0.06	22.49	6.99	26.20	58.65
0.20	0.09	0.23	0.16	26.20	7.28	30.53	65.93
0.23	0.15	0.27	0.30	30.53	7.50	35.58	73.42
0.27	0.21	0.31	0.51	35.56	7.09	41.43	80.51
0.31	0.28	0.36	0.79	41.43	6.26	48.27	86.78
0.36	0.34	0.42	1.13	48.27	5.10	56.23	91.87
0.42	0.40	0.49	1.52	56.23	3.78	65.51	95.63
0.49	0.44	0.58	1.96	65.51	2.46	76.32	98.09
0.58	0.47	0.67	2.43	76.32	1.36	88.91	99.45
0.67	0.47	0.78	2.90	88.91	0.55	103.58	100.00
0.78	0.43	0.91	3.33	103.58	0.00	120.67	100.00
0.91	0.39	1.06	3.72	120.67	0.00	140.58	100.00
1.06	0.33	1.24	4.05	140.58	0.00	163.77	100.00
1.24	0.29	1.44	4.34	163.77	0.00	190.80	100.00
1.44	0.25	1.68	4.59	190.80	0.00	222.28	100.00
1.68	0.24	1.95	4.83	222.28	0.00	258.95	100.00
1.95	0.27	2.28	5.10	258.95	0.00	301.68	100.00
2.28	0.35	2.65	5.45	301.68	0.00	351.46	100.00
2.65	0.49	3.09	5.95	351.46	0.00	409.45	100.00
3.09	0.72	3.60	6.66	409.45	0.00	477.01	100.00
3.60	1.02	4.19	7.69	477.01	0.00	555.71	100.00
4.19	1.42	4.88	8.10	555.71	0.00	647.41	100.00
4.88	1.87	5.69	10.98	647.41	0.00	754.23	100.00
5.69	2.37	6.63	13.34	754.23	0.00	878.67	100.00





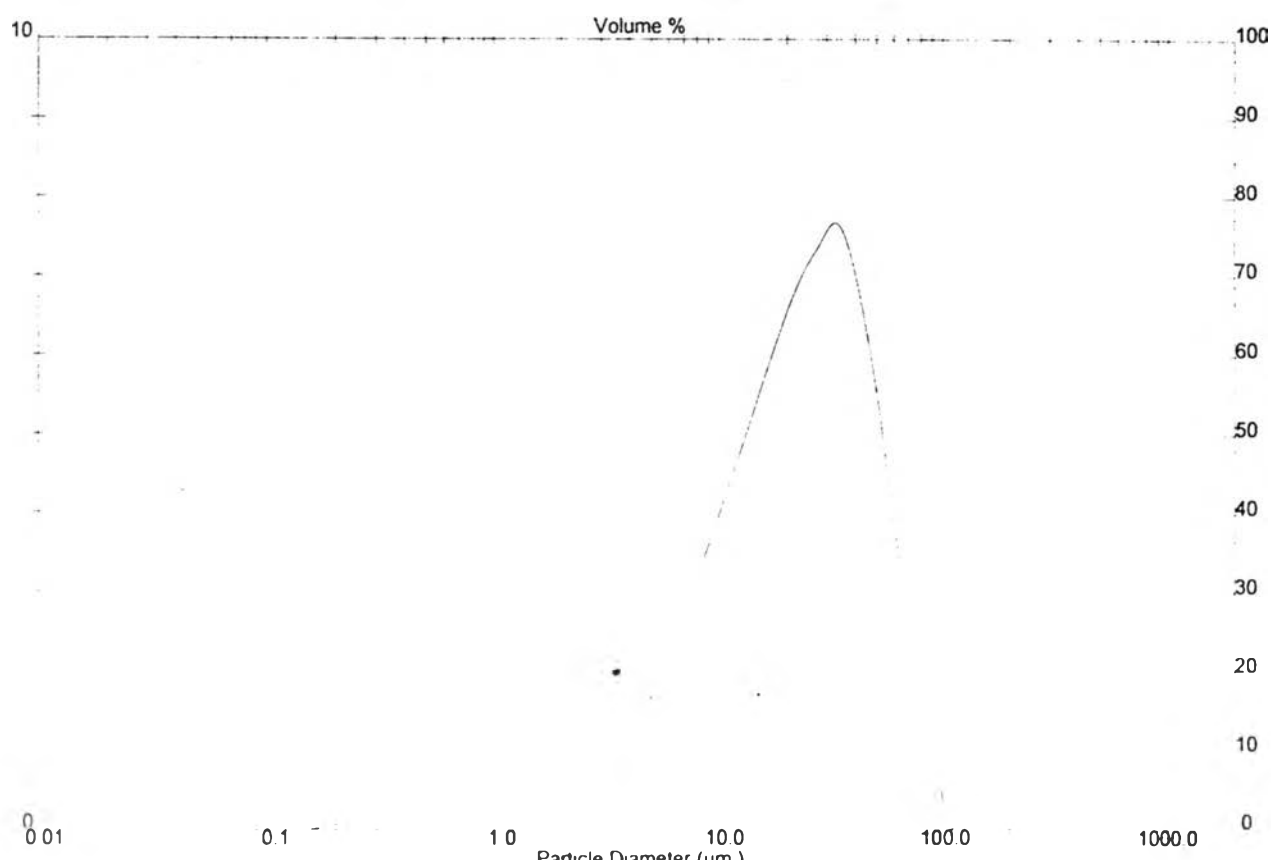
Result: Analysis Report

Sample Details			
Sample ID cement	Run Number 5	Measurement Date Tue, Jun 25, 1996 1:08PM	
Sample File CEMENT	Record Number 8	Analysis Date Tue, Jun 25, 1996 1:08PM	
Sample Path A\		Result Source Analysed	
Sample Notes Test by Pranees Scientific and Technological Research Equipment Centre Chulalongkorn University liquid medium water			

System Details		Sampler MS1	Obscuration 16.5 %
Range Lens 300RF mm	Beam Length 240 mm		
Presentation 3SSD	[Fraunhofer]		
Analysis Model: Polydisperse			
Modifications: None			Residual 0.244 %

Result Statistics			
Distribution Type: Volume	Concentration = 0.0174 %Vol	Density = 1.000 g / cub. cm	Specific S.A. = 0.8636 sq. m / g
Mean Diameters:	D (v, 0.1) = 5.43 um	D (v, 0.5) = 22.21 um	D (v, 0.9) = 53.58 um
D [4, 3] = 26.40 um	D [3, 2] = 6.85 um	Span = 2.168E-00	Uniformity = 6.805E-01

Size_Low (um)	In %	Size_High (um)	Under%	Size_Low (um)	In %	Size_High (um)	Under%
0.05	0.00	0.06	0.00	6.63	2.78	7.72	15.65
0.06	0.00	0.07	0.00	7.72	3.31	8.00	18.96
0.07	0.00	0.08	0.00	9.00	3.85	10.48	22.81
0.08	0.00	0.09	0.00	10.48	4.41	12.21	27.22
0.09	0.00	0.11	0.00	12.21	4.98	14.22	32.20
0.11	0.00	0.13	0.00	14.22	5.56	16.57	37.77
0.13	0.00	0.15	0.00	16.57	6.14	19.31	43.90
0.15	0.01	0.17	0.01	19.31	6.68	22.49	50.56
0.17	0.04	0.20	0.06	22.49	7.08	26.20	57.64
0.20	0.09	0.23	0.15	26.20	7.41	30.53	65.05
0.23	0.14	0.27	0.29	30.53	7.86	35.56	72.70
0.27	0.20	0.31	0.49	35.56	7.23	41.43	79.93
0.31	0.26	0.36	0.75	41.43	8.37	48.27	86.31
0.36	0.32	0.42	1.07	48.27	5.18	56.23	91.49
0.42	0.38	0.49	1.45	56.23	3.84	65.51	95.33
0.49	0.42	0.56	1.86	65.51	2.54	76.32	97.87
0.58	0.44	0.67	2.31	76.32	1.46	88.91	99.33
0.67	0.45	0.78	2.75	88.91	0.67	103.58	100.00
0.78	0.41	0.91	3.16	103.58	0.00	120.87	100.00
0.91	0.37	1.06	3.53	120.87	0.00	140.58	100.00
1.06	0.32	1.24	3.85	140.58	0.00	163.77	100.00
1.24	0.27	1.44	4.12	163.77	0.00	190.80	100.00
1.44	0.24	1.68	4.38	190.80	0.00	222.28	100.00
1.68	0.24	1.95	4.60	222.28	0.00	258.95	100.00
1.95	0.27	2.28	4.87	258.95	0.00	301.68	100.00
2.28	0.35	2.65	5.21	301.68	0.00	351.46	100.00
2.65	0.49	3.09	5.70	351.46	0.00	409.45	100.00
3.09	0.71	3.80	6.41	409.45	0.00	477.01	100.00
3.60	1.00	4.19	7.41	477.01	0.00	555.71	100.00
4.19	1.37	4.68	8.79	555.71	0.00	647.41	100.00
4.88	1.81	5.89	10.59	847.41	0.00	754.23	100.00
5.68	2.27	6.03	12.87	754.23	0.00	878.67	100.00





Result: Analysis Report

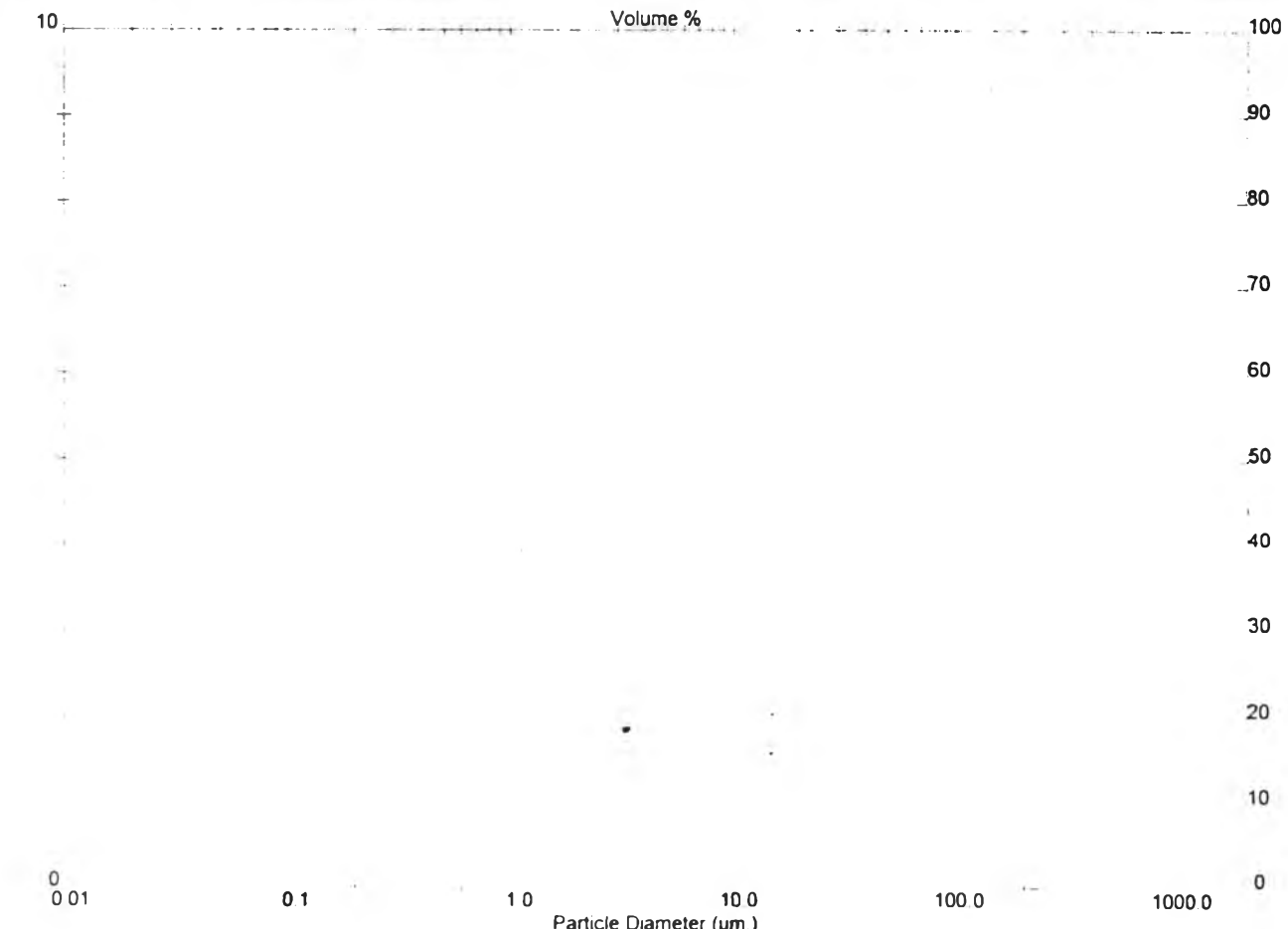
Sample Details		Measurement Data	
Sample ID: fly ash	Run Number: 1	Measurement Date: Tue Jun 25 1996 11:57AM	
Sample File: FLYASH2	Record Number: 1	Analysis Date: Tue Jun 25 1996 11:57AM	
Sample Path: CISIZERS/DATA1		Result Source: Analyzed	

Sample Notes: Test by Pranes Scientific and Technological Research Equipment Centre Chulalongkorn University
liquid medium: water

Range Lens: 300RF mm	Beam Length: 240 mm	System Details	Sempler MS1	Obscuration: 14.7 %
Presentation: 3SSD	[Fraunhofer]			
Analysis Model: Polydisperse				
Modifications: None				Residual: 0.271 %

Distribution Type: Volume	Concentration = 0.0110 %Vol	Density = 1.000 g / cub cm	Specific S.A. = 1.2031 sq m / g
Mean Diameters:	D(v, 0.1) = 2.94 um	D(v, 0.5) = 17.76 um	D(v, 0.9) = 69.76 um
D(4, 3) = 29.56 um	D(3, 2) = 4.99 um	Span = 3.762E+00	Uniformity = 1.249E+00

Size Low (um)	In %	Size High (um)	Under%	Size Low (um)	In %	Size High (um)	Under%
0.05	0.00	0.06	0.00	6.83	3.96	7.72	28.63
0.06	0.00	0.07	0.00	7.72	4.02	9.00	32.65
0.07	0.00	0.08	0.00	9.00	3.98	10.48	36.63
0.08	0.00	0.09	0.00	10.48	3.91	12.21	40.54
0.09	0.00	0.11	0.00	12.21	3.85	14.22	44.39
0.11	0.00	0.13	0.00	14.22	3.85	16.57	48.23
0.13	0.00	0.15	0.00	16.57	3.92	19.31	52.16
0.15	0.00	0.17	0.00	19.31	4.08	22.49	56.24
0.17	0.00	0.20	0.00	22.49	4.29	26.20	60.52
0.20	0.07	0.23	0.07	26.20	4.52	30.53	65.04
0.23	0.16	0.27	0.23	30.53	4.75	35.56	69.79
0.27	0.27	0.31	0.50	35.56	4.97	41.43	74.76
0.31	0.39	0.38	0.89	41.43	4.91	48.27	79.67
0.36	0.50	0.42	1.39	48.27	4.84	56.23	84.31
0.42	0.61	0.49	2.00	56.23	4.16	65.51	88.47
0.49	0.69	0.58	2.69	65.51	3.53	76.32	92.00
0.58	0.74	0.67	3.43	76.32	2.81	88.01	94.81
0.67	0.75	0.78	4.18	88.01	2.08	103.58	96.89
0.78	0.69	0.61	4.87	103.58	1.39	120.67	98.27
0.91	0.62	1.06	5.49	120.67	0.81	140.58	99.08
1.06	0.55	1.24	6.04	140.58	0.38	163.77	99.46
1.24	0.49	1.44	6.54	163.77	0.13	190.80	99.59
1.44	0.48	1.68	7.01	190.80	0.02	222.28	99.61
1.68	0.53	1.95	7.55	222.28	0.02	258.95	99.63
1.95	0.68	2.28	8.23	258.95	0.06	301.68	99.68
2.28	0.93	2.65	9.16	301.68	0.09	351.46	99.78
2.65	1.31	3.09	10.47	351.46	0.10	409.45	99.88
3.09	1.79	3.60	12.26	409.45	0.07	477.01	99.95
3.60	2.35	4.19	14.61	477.01	0.05	555.71	100.00
4.19	2.91	4.88	17.52	555.71	0.00	647.41	100.00
4.88	3.40	5.69	20.92	647.41	0.00	754.23	100.00
5.69	3.75	6.63	24.68	754.23	0.00	878.67	100.00





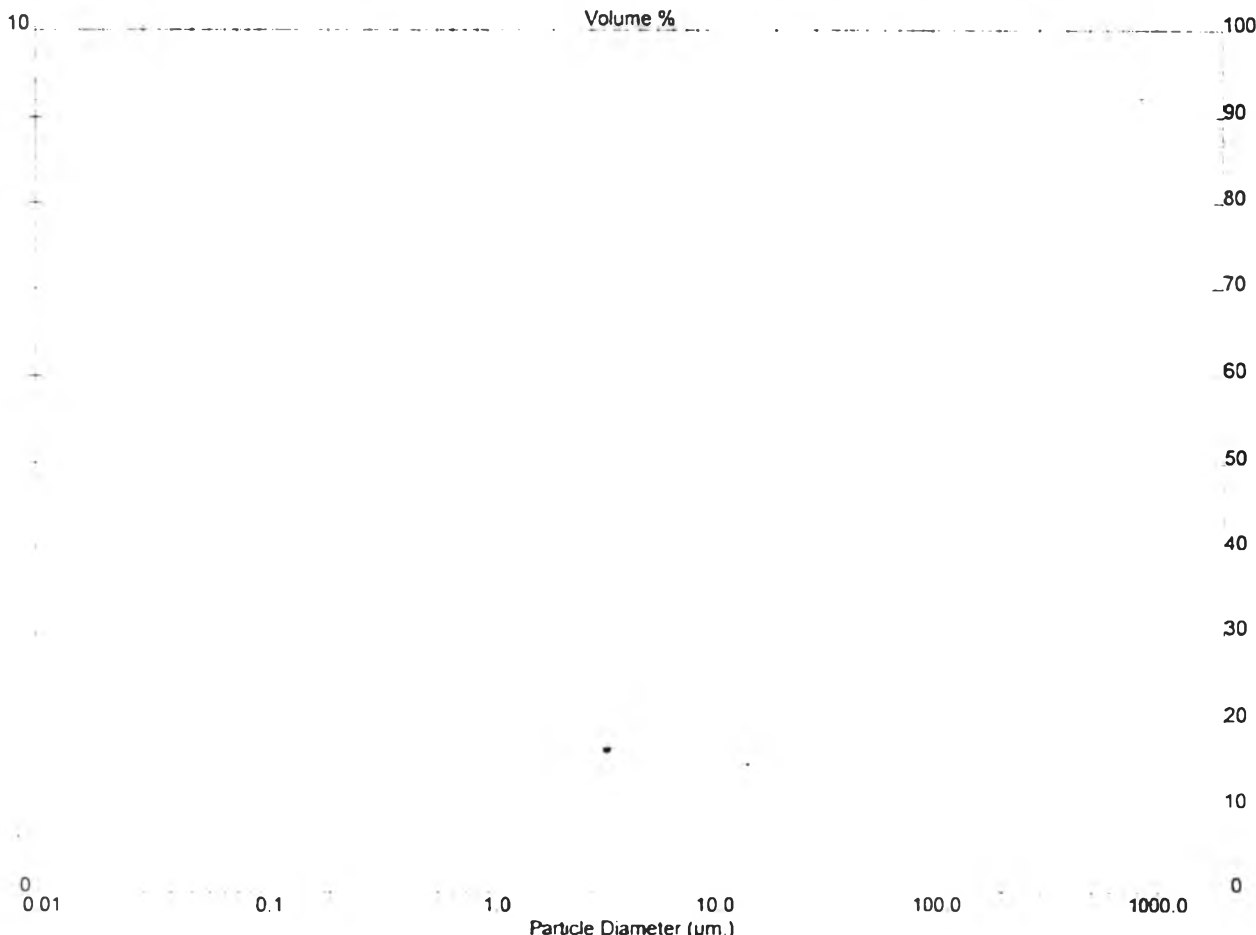
Result: Analysis Report

Sample Details			
Sample ID fly ash	Run Number 2		Measurement Date Tue, Jun 25, 1996 11:52AM
Sample File FLY ASH	Record Number 1		Analysis Date Tue, Jun 25, 1996 11:52AM
Sample Path C:\SIZERS\DATA\			Result Source Analysed
Sample Notes Test by Pranees Scientific and Technological Research Equipment Centre Chulalongkorn University Small volume magnetic stirred cell			

System Details		Sampler MS1	Obscuration 14.8 %
Range Lens 300RF mm	Beam Length 240 mm		
Presentation 333D	[Fraunhofer]		
Analysis Model Polydisperse			Residual 0.267 %
Modifications None			

Distribution Type Volume		Concentration = 0.0111 %Vol	Density = 1.000 g / cub. cm	Specific S.A. = 1.2036 sq. m/g
Mean Diameters:		D(v, 0.1) = 3.00 um	D(v, 0.5) = 17.11 um	D(v, 0.9) = 72.04 um
D(4, 3) = 28.93 um		D(3, 2) = 4.99 um	Span = 4.035E+00	Uniformity = 1.267E+00

Size Low (um)	In %	Size High (um)	Under%	Size Low (um)	In %	Size High (um)	Under%
0.05	0.00	0.06	0.00	6.63	4.10	7.72	28.72
0.06	0.00	0.07	0.00	7.72	4.19	9.00	32.91
0.07	0.00	0.08	0.00	9.00	4.17	10.48	37.08
0.08	0.00	0.09	0.00	10.48	4.10	12.21	41.16
0.09	0.00	0.11	0.00	12.21	4.02	14.22	45.19
0.11	0.00	0.13	0.00	14.22	3.97	16.57	48.17
0.13	0.00	0.15	0.00	16.57	3.99	19.31	53.16
0.15	0.00	0.17	0.00	19.31	4.07	22.49	57.23
0.17	0.00	0.20	0.00	22.49	4.19	26.20	61.42
0.20	0.07	0.23	0.07	26.20	4.34	30.53	65.76
0.23	0.17	0.27	0.24	30.53	4.49	35.56	70.25
0.27	0.27	0.31	0.51	35.56	4.64	41.43	74.88
0.31	0.39	0.38	0.88	41.43	4.58	48.27	78.46
0.36	0.50	0.42	1.41	48.27	4.35	56.23	83.81
0.42	0.61	0.49	2.01	56.23	3.97	65.51	87.78
0.49	0.69	0.58	2.70	65.51	3.48	76.32	91.24
0.58	0.74	0.67	3.44	76.32	2.88	88.91	94.12
0.67	0.75	0.78	4.19	88.91	2.26	103.58	96.39
0.78	0.69	0.91	4.88	103.58	1.64	120.67	98.03
0.91	0.61	1.08	5.49	120.67	1.08	140.58	99.11
1.06	0.54	1.24	6.02	140.58	0.61	163.77	99.72
1.24	0.47	1.44	6.50	163.77	0.28	190.80	100.00
1.44	0.45	1.68	6.95	190.80	0.00	222.28	100.00
1.68	0.50	1.85	7.48	222.28	0.00	258.95	100.00
1.85	0.65	2.28	8.10	258.95	0.00	301.68	100.00
2.28	0.90	2.65	9.08	301.68	0.00	351.46	100.00
2.65	1.27	3.09	10.27	351.46	0.00	409.45	100.00
3.09	1.76	3.60	12.04	409.45	0.00	477.01	100.00
3.60	2.34	4.19	14.37	477.01	0.00	555.71	100.00
4.19	2.03	4.88	17.31	555.71	0.00	647.41	100.00
4.88	3.46	5.69	20.77	647.41	0.00	754.23	100.00
5.69	3.85	6.63	24.62	754.23	0.00	878.67	100.00





Result: Analysis Report

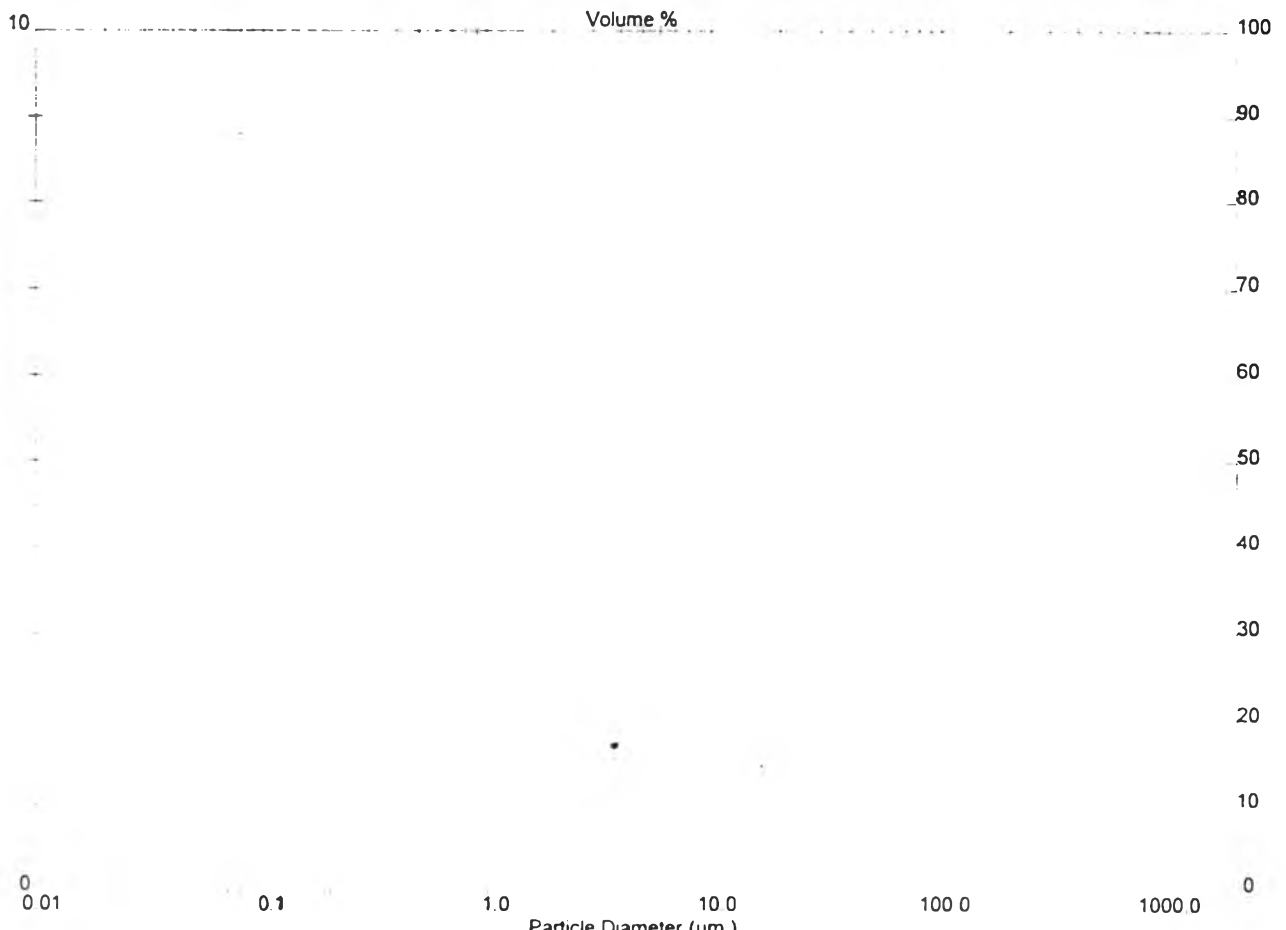
Sample Details			
Sample ID Fly ash	Run Number 2	Record Number 2	Measurement Date Tue Jun 25 1996 12:18PM
Sample File FLYASH2			Analysis Date Tue Jun 25, 1996 12:18PM
Sample Path C:\SIZERS\DATA			Result Source Analysed

Sample Notes Test by Praneet Scientific and Technological Research
Equipment Centre Chulalongkorn University
Liquid medium water

Range Lens 300RF mm	Beam Length. 240 mm	System Details	Sampler MS1	Obscuration 12.9 %
Presentation 33D	[Fraunhofer]			
Analysis Model Polydisperse				
Modifications None				Residual 0.347 %

Result Statistics			
Distribution Type Volume	Concentration = 0.0087 %Vol	Density = 1000 g / cub. cm	Specific S.A. = 1.1801 sq. m / g
Mean Diameters	D(v, 0.1) = 3.15 um	D(v, 0.5) = 18.92 um	D(v, 0.9) = 64.01 um
D[4, 3] = 26.35 um	D[3, 2] = 5.08 um	Span = 3.59E+00	Uniformity = 1.124E+00

Size Low (um)	In %	Size High (um)	Under%	Size Low (um)	In %	Size High (um)	Under%
0.75	0.00	0.06	0.00	6.63	4.18	7.72	28.27
0.98	0.00	0.07	0.00	7.72	4.31	9.00	32.57
1.07	0.00	0.08	0.00	8.00	4.31	10.48	36.88
1.08	0.00	0.09	0.00	10.48	4.24	12.21	41.12
1.09	0.00	0.11	0.00	12.21	4.17	14.22	45.29
0.11	0.00	0.13	0.00	14.22	4.14	18.57	49.43
0.13	0.00	0.15	0.00	16.57	4.18	19.31	53.81
0.15	0.00	0.17	0.00	19.31	4.29	22.49	57.91
0.17	0.00	0.20	0.00	22.49	4.47	26.20	62.37
0.20	0.06	0.23	0.06	26.20	4.67	30.53	67.05
0.23	0.16	0.27	0.22	30.53	4.90	35.56	71.95
0.27	0.26	0.31	0.49	35.56	5.00	41.43	76.95
0.31	0.38	0.38	0.86	41.43	4.82	48.27	81.87
0.36	0.49	0.42	1.35	48.27	4.61	56.23	86.48
0.42	0.59	0.49	1.94	56.23	4.10	65.51	90.58
0.49	0.67	0.58	2.61	65.51	3.42	76.32	94.01
0.58	0.72	0.67	3.34	76.32	2.65	88.91	96.88
0.67	0.73	0.78	4.07	88.91	1.88	103.58	98.54
0.78	0.67	0.91	4.74	103.58	1.11	120.67	99.66
0.91	0.59	1.06	5.33	120.67	0.34	140.58	100.00
1.06	0.51	1.24	5.84	140.58	0.00	163.77	100.00
1.24	0.45	1.44	6.29	163.77	0.00	190.80	100.00
1.44	0.42	1.68	6.70	190.80	0.00	222.28	100.00
1.68	0.46	1.85	7.16	222.28	0.00	258.95	100.00
1.95	0.59	2.28	7.75	258.95	0.00	301.68	100.00
2.28	0.84	2.65	8.58	301.68	0.00	351.46	100.00
2.65	1.21	3.09	9.80	351.46	0.00	409.45	100.00
3.09	1.71	3.60	11.51	409.45	0.00	477.01	100.00
3.60	2.28	4.19	13.80	477.01	0.00	555.71	100.00
4.19	2.81	4.88	18.71	555.71	0.00	647.41	100.00
4.88	3.47	5.69	20.18	647.41	0.00	754.23	100.00
5.69	3.90	6.63	24.09	754.23	0.00	878.67	100.00



ประวัติย่อเชื่อม

นายวิศว จักรไพบูลย์ เกิดเมื่อวันที่ 17 ตุลาคม พ.ศ. 2516 ที่กรุงเทพมหานคร ได้เข้าศึกษาระดับชั้นมัธยมศึกษาในปี พ.ศ. 2528 ที่โรงเรียนสวนกุหลาบวิทยาลัย รุ่นที่ 109 ชั้นที่ศึกษาในระดับมัธยมศึกษาปีที่ 4 ได้เรียนจบการศึกษาชั้นมัธยมศึกษาตอนปลายจากการศึกษานอกโรงเรียนในปี พ.ศ. 2532 และผ่านการสอบคัดเลือกเข้ามหาวิทยาลัย ในคณะศึกษาศาสตร์ มหาวิทยาลัยเกษตรศาสตร์ แต่ละสิทธิ์การเรียนจึงศึกษาต่อในระดับมัธยมศึกษาปีที่ 5 ที่โรงเรียนสวนกุหลาบวิทยาลัยและผ่านการสอบคัดเลือกเข้ามหาวิทยาลัย เข้าศึกษาต่อในระดับปริญญาวิศวกรรมศาสตรบัณฑิต (สาขาวิศวกรรมโยธา) จากมหาวิทยาลัยเกษตรศาสตร์ ในปี พ.ศ. 2533 และจบการศึกษาในปี พ.ศ. 2537 เข้าศึกษาต่อในระดับปริญญาโทในสาขาวิศวกรรมศาสตร์ สาขาวิศวกรรมโครงสร้าง ภาควิชาชีวกรรมโยธา จุฬาลงกรณ์มหาวิทยาลัย ในปีเดียวกัน

